

## บทที่ 3

### ทบทวนเอกสาร

#### 3.1 ทฤษฎี สมมติฐาน หลักการและเหตุผล

ในการผลิตน้ำประปาจำเป็นต้องกำจัดอนุภาคความขุ่นออกจากน้ำดิบ สำหรับอนุภาคขนาดเล็กที่เรียกว่า อนุภาคคอลลอยด์ (colloidal particle) ซึ่งมีขนาด  $10^{-6}$  มม. ถึง  $10^{-3}$  และไม่สามารถตกตะกอนได้ด้วยน้ำหนักตัวเอง จึงต้องมีกระบวนการที่ทำให้เกิดการรวมกลุ่มของอนุภาคจนเป็นก้อนที่หนักขึ้น และสามารถแยกตัวออกจากน้ำได้

##### 3.1.1 ทฤษฎีของการตกตะกอน

ทฤษฎีของการตกตะกอนประกอบด้วยทฤษฎีของกระบวนการโคแอกกูเลชัน และทฤษฎีของกระบวนการฟล็อกกูเลชัน ดังนี้

##### 3.1.1.1 ทฤษฎีของกระบวนการโคแอกกูเลชัน

กลไกทำลายเสถียรภาพของคอลลอยด์ที่เกิดขึ้นโดยกระบวนการโคแอกกูเลชันจะเกิดขึ้นในชั้นผสมเร็ว กลไกที่เกิดขึ้นจะขึ้นกับปัจจัยหลายประการได้แก่ ธรรมชาติและความเข้มข้นของคอลลอยด์ ลักษณะทางเคมีของน้ำดิบ พีเอช ชนิดและปริมาณสารโคแอกกูแลนต์ ตลอดจนระดับความปั่นป่วนของน้ำ ปัจจัยต่าง ๆ มีความสัมพันธ์ซึ่งกันและกันอย่างแนบแน่นในกลไกทำลายเสถียรภาพคอลลอยด์ที่เกิดขึ้น

สารโคแอกกูแลนต์ที่ใช้ในกระบวนการโคแอกกูเลชัน สามารถจำแนกออกเป็นเกลือของโลหะและสารโพลีเมอร์ เกลือของโลหะได้แก่ อะลูมิเนียมไฮ-

ดรอกไซด์ เพอริกซิลเพต เป็นต้น สารโพสิเมอร์ ได้แก่ สารโพสิเมอร์ประจุบวก สารโพสิเมอร์ประจุลบ และสารโพสิเมอร์ไม่มีประจุ ชนิดของสารโคแอกกูแลนต์ จะมีความสัมพันธ์อย่างใกล้ชิดกับประเภทของกลไกที่เกิดขึ้น กล่าวคือ สารโคแอกกูแลนต์ที่เป็นเกลือของโลหะอาจทำให้เกิดกลไกแบบกวาด (sweep mechanism) หรือกลไกดูดติดและสะเทินทางไฟฟ้า (adsorption and charge neutralization mechanism) หรือกลไกแบบรวม ทั้งนี้ขึ้นอยู่กับปริมาณสารโคแอกกูแลนต์ที่ใช้ ความเข้มข้นของอนุภาคความขุ่น ลักษณะทางเคมีของน้ำคือพีเอช และปริมาณไอออนในน้ำ และระดับความปั่นป่วนในน้ำซึ่งมีความสัมพันธ์กับเวลาผสม (O'melia, 1972) และสามารถอธิบายกลไกต่าง ๆ ได้ดังนี้

#### 3.1.1.1.1 กลไกลดความหนาของชั้นกระจาย

การเพิ่มจำนวนของไอออนที่มีประจุตรงข้ามกับประจุของอนุภาคมีผลทำให้ชั้นกระจายมีความหนาลดลง ทำให้ซีตาโพเทนเชียลลดลง อนุภาคคอลลอยด์จะสามารถเข้าใกล้กันได้มากขึ้น จนกระทั่งสามารถทำให้อนุภาคเกาะติดกันได้ (O'melia, 1972)

#### 3.1.1.1.2 กลไกดูดติดผิวและสะเทินทางไฟฟ้า

กลไกดูดติดผิวและสะเทินทางไฟฟ้าเกิดจากการเติมสารเคมีบางชนิดที่สามารถแตกตัวหรือทำปฏิกิริยากับน้ำแล้วทำให้ไอออนต่างประจุกับคอลลอยด์สามารถดูดติดผิวของคอลลอยด์ด้วยพันธะโควาเลนต์ (Sanks, 1978) และสะเทินประจุของคอลลอยด์ ทำให้แรงผลักระหว่างอนุภาคลดลง จนแรงแวนเดอร์วาลส์มีค่ามากกว่า ทำให้เกิดการรวมตัวระหว่างอนุภาคขึ้น (O'melia, 1972)

อนึ่งในกลไกประเภทนี้ปริมาณสารโคแอกกูแลนต์จะมีความสัมพันธ์เป็นสโตยชิโอเมตริกกับความเข้มข้นของอนุภาคคอลลอยด์ (O'melia, 1972) นอก

จากนี้ปริมาณของสารโรคแอกกูแลนต์ พีเอช ความเข้มข้นของคอลลอยด์ และระดับความปั่นป่วนของน้ำ ยังมีอิทธิพลต่อกลไกโดยตรง กล่าวคือปริมาณสารโรคแอกกูแลนต์และพีเอชจะกำหนดชนิดและปริมาณของไอออนเชิงซ้อน ในขณะที่ความเข้มข้นของคอลลอยด์และระดับความปั่นป่วนของน้ำจะกำหนดโอกาสที่ไอออนเชิงซ้อนจะทาบฏิกิริยากับคอลลอยด์ (O'melia, 1972)

### 3.1.1.1.3 กลไกแบบกวาด

เมื่อเติมสารสัมลงในน้ำจนความเข้มข้นมากกว่าความเข้มข้นที่จุดอิ่มตัว จะทำให้เกิดฟล็อกอย่างรวดเร็ว ฟล็อกที่เกิดจะห่อหุ้มอนุภาคคอลลอยด์ซึ่งทำหน้าที่เป็นแกนของฟล็อกหรืออาจจับตัวรวมกับฟล็อก กลไกที่เกิดขึ้นนี้เป็นการเพิ่มขนาดและน้ำหนักให้กับอนุภาคคอลลอยด์โดยทำให้รวมตัวกับฟล็อกขนาดใหญ่ เป็นผลให้อนุภาคคอลลอยด์สูญเสียเสถียรภาพและสามารถตกตะกอนได้

ปัจจัยที่มีอิทธิพลต่อกลไกแบบกวาดอย่างเด่นชัดคือ ปริมาณสารโรคแอกกูแลนต์และความเข้มข้นของคอลลอยด์ กล่าวคือการเกิดฟล็อกจะเกิดขึ้นอย่างรวดเร็วถ้าระดับเกินการอิ่มตัว (extent of oversaturation) ของฟล็อกมีค่าเท่ากับหรือมากกว่า 100 โดยที่ระดับเกินการอิ่มตัวจะแปรตามปริมาณของสารโรคแอกกูแลนต์ (O'melia, 1972) นอกจากนี้อัตราการเกิดฟล็อกยังขึ้นกับความเข้มข้นของคอลลอยด์ซึ่งทำหน้าที่เป็นแกนในการเกิดฟล็อก อนึ่งในกลไกประเภทนี้ปริมาณสารโรคแอกกูแลนต์ไม่มีความสัมพันธ์ เป็นสโตยชิโอเมตริกกับความเข้มข้นของคอลลอยด์ (O'melia, 1972)

กระบวนการโรคแอกกูแลนต์ที่ใช้ในการผลิตน้ำประปาส่วนใหญ่มักจะใช้กลไกแบบกวาดนี้ เพราะเกิดผลดีในช่วงพีเอชกว้าง (Amirtharajah, 1982) จึงควบคุมง่าย แต่สลัดจ์ที่เกิดขึ้นจะมีข้อเสียคืออัดตัวไม่แน่นและดึงน้ำออกยาก (มันสิน ตัณฑุลเวศม์, 2526)

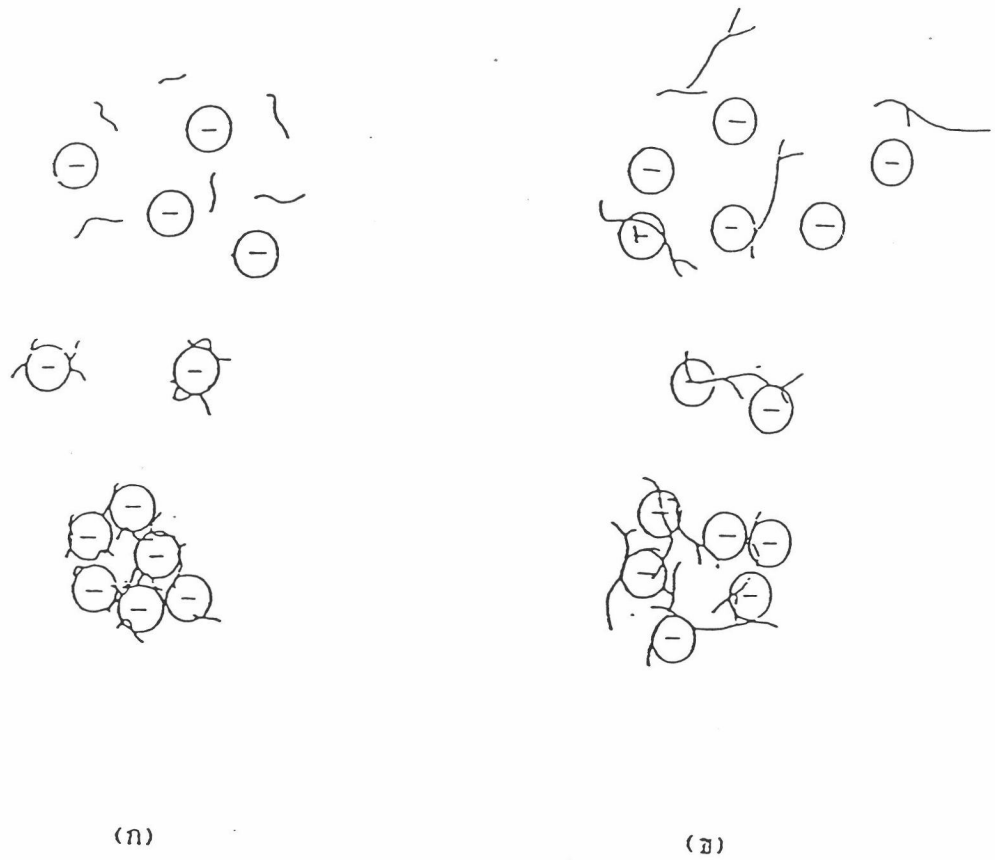
#### 3.1.1.1.4 กลไกแบบร่วม

กลไกแบบร่วมเป็นการทำลายเสถียรภาพของอนุภาคคอลลอยด์ร่วมกันระหว่างกลไกแบบดูดติดผิวและสะท้อนทางไฟฟ้ากับกลไกแบบกวาดโดยที่ไม่มีกลไกชนิดหนึ่งชนิดใดมีอิทธิพลสูงกว่ากลไกอีกชนิดหนึ่งจนกลไกชนิดหนึ่งไม่มีนัยสำคัญ

#### 3.1.1.1.5 การใช้สารโพลีเมอร์เป็นสะพานเชื่อม

โพลีเมอร์เป็นสารที่มีขนาดโมเลกุลใหญ่ซึ่งอาจมีประจุบวก, ลบหรือไม่มีประจุเลยก็ได้ การทำลายเสถียรภาพของอนุภาคคอลลอยด์โดยการใช้โพลีเมอร์จะเกิดขึ้นจากการที่โมเลกุลของโพลีเมอร์สามารถเกาะติดบนอนุภาคได้หลายตำแหน่ง การเกาะติดอาจเป็นผลเนื่องมาจากประจุที่ต่างกันของโพลีเมอร์และอนุภาคคอลลอยด์หรือแรงปฏิกิริยาที่เกิดขึ้นระหว่างอนุภาคที่เหมือนกันก็ได้ อนุภาคคอลลอยด์ที่มีปลายโพลีเมอร์เกาะติดแล้วซึ่งถือว่าเป็นอนุภาคที่เสถียรภาพแล้วสามารถจับตัวกับอนุภาคอื่นโดยมีสารโพลีเมอร์เป็นสะพานเชื่อมอนุภาคเข้าด้วยกันทำให้เกิดอนุภาคที่มีขนาดใหญ่สามารถตกตะกอนได้เร็ว ดังแสดงในรูปที่ 3.1

ในทางตรงกันข้ามการใช้โพลีเมอร์มากเกินไปอาจก่อให้เกิดผลเสียได้ เพราะโพลีเมอร์หลายโมเลกุลจะไปเกาะบนอนุภาคคอลลอยด์ จนกระทั่งไม่มีที่ว่างบนอนุภาคคอลลอยด์ที่เกิดขึ้น จึงเรียกว่าอนุภาคที่มีเสถียรภาพกลับคืนใหม่ (restabilized particle) และนอกจากนี้การกวนน้ำแรงเกินไปหรือนานเกินไปก่อผลเสียได้ เนื่องจากฟล็อกที่เกิดขึ้นแล้วจะแตกออกเป็นส่วน ๆ และอาจทำให้ปลายอิสระของโพลีเมอร์เกาะจับอนุภาคอันเดิม เสถียรภาพของคอลลอยด์จึงกลับคืนมาใหม่เช่นกัน (ดูรูปที่ 3.2)



รูปที่ 3.1 ลักษณะการเกิดโคแอกกูเลชัน โดยกลไกการเชื่อมต่อของ โพลีเมอร์ (Bratby, 1980)

(ก) โพลีเมอร์ที่มีน้ำหนักโมเลกุลต่ำ แต่มีประจุบวก

(ข) โพลีเมอร์ที่มีน้ำหนักโมเลกุลสูง

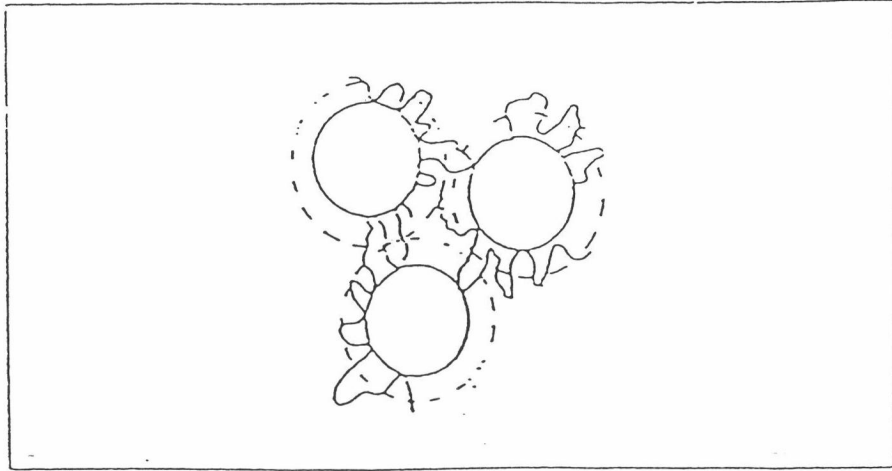


Fig 12a Flocculation by bridging of particles  
due to adsorption of polymer segments

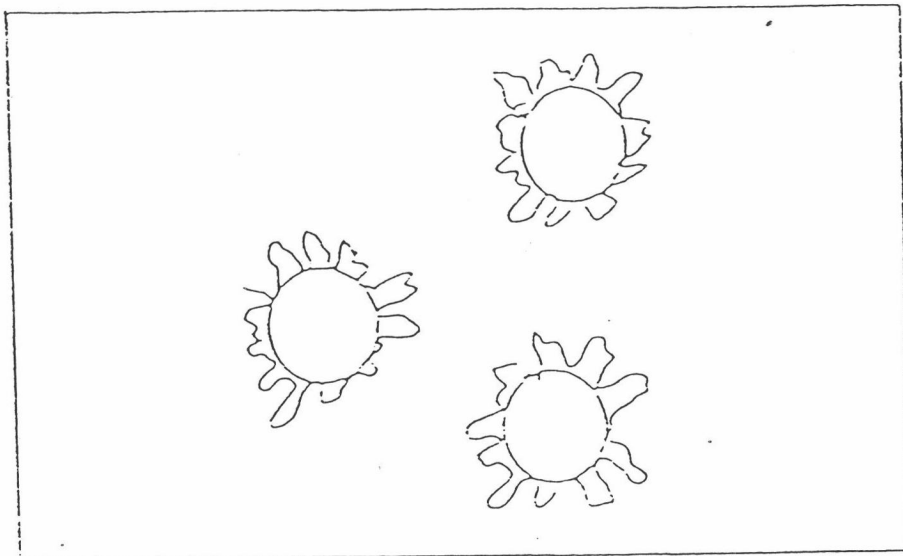


Fig 12b restabilization of particles  
due to adsorption of excess polymer

รูปที่ 3.2 กลไกการทลายเสถียรภาพคอลลอยด์แบบต่อเชื่อมด้วย  
โพลีเมอร์และการกลับคืนเสถียรภาพของคอลลอยด์  
(Bratby, 1980)

### 3.1.1.2 ทฤษฎีของกระบวนการฟล็อกกูเลชัน

กระบวนการฟล็อกกูเลชันเป็นกระบวนการที่ทำให้อนุภาคคอลลอยด์ซึ่งถูกทำลายเสถียรภาพแล้วเกิดการชนกัน และรวมตัว เกิดเป็นอนุภาคขนาดใหญ่ขึ้น กระบวนการฟล็อกกูเลชันอาจจำแนกเป็นสามประเภท (O'melia, 1972) ดังต่อไปนี้.

#### 3.1.1.2.1 การเคลื่อนที่เนื่องจากความร้อน

กระบวนการฟล็อกกูเลชันแบบนี้เรียกว่ากระบวนการฟล็อกกูเลชันแบบเพอริโคเนติก (perikinetic flocculation) เป็นกระบวนการที่เกิดจากการชนกันของอนุภาคที่เกิดจากความร้อนภายในน้ำซึ่งแปรรูปเป็นพลังงานจลน์ ทำให้โมเลกุลของน้ำเคลื่อนที่อย่างรวดเร็ว อัตราการสมานแบบนี้ขึ้นอยู่กับลักษณะทางกายภาพของน้ำโดยเฉพาะอย่างยิ่งคือ อุณหภูมิ และขึ้นอยู่กับจำนวนอนุภาคภายในน้ำ อัตราการสมานประเภทนี้จะมีอัตราสูงเมื่ออนุภาคมีขนาดเส้นผ่าศูนย์กลางเล็กกว่า 1 ไมครอน และจะมีอัตราการสมานต่ำมากเมื่ออนุภาคมีขนาดใหญ่มากกว่า 1 ไมครอน (O'melia, 1972)

#### 3.1.1.2.2 การเคลื่อนที่ของเนื้อของเหลว

กระบวนการฟล็อกกูเลชันแบบนี้เรียกว่ากระบวนการฟล็อกกูเลชันแบบออร์โธโคเนติก (orthokinetic flocculation) กระบวนการประเภทนี้เกิดจากการชนของอนุภาคซึ่งเกิดจากการเคลื่อนที่ของของเหลว อัตราการสมานประเภทนี้จะมีอัตราสูงกว่าอัตราการสมานแบบเพอริโคเนติก เมื่ออนุภาคมีขนาดใหญ่มากกว่า 1 ไมครอน (O'melia, 1972)

โดยทั่วไปอนุภาคที่ผ่านกระบวนการโคแอกกูเลชันแล้วจะมีขนาดตั้งแต่ 100 ถึง 2000 ไมครอน ดังนั้นกระบวนการฟล็อกกูเลชันแบบออร์โธโคเนติกนี้จึงเป็นกลไกหลัก (O'melia, 1972)

### 3.1.1.2.3 การจมตัวด้วยอัตราเร็วแตกต่างกัน

กระบวนการฟล็อกกูเลชันแบบนี้จะเกิดเมื่อปราศจากความปั่นป่วน โดยอนุภาคขนาดใหญ่กว่าจะมีความเร็วการจมตัวสูงกว่าอนุภาคขนาดเล็ก ทำให้เกิดความเร็วมัธยสัมพันธ์ และเกิดการชนและการรวมตัวกันระหว่างอนุภาคในระหว่างการจมตัว กระบวนการฟล็อกกูเลชันประเภทนี้จะเกิดขึ้นในถังทำสแบบชั้นสลัดจ์ (sludge blanket clarifier) และในถังตกตะกอนแนวตั้งทั่วไป

### 3.1.2 ตัวแปรสำคัญในกระบวนการโคแอกกูเลชัน

ลักษณะการทำงานของกระบวนการโคแอกกูเลชันคือการสร้างความปั่นป่วนให้เกิดขึ้นอย่างรุนแรงในขณะที่เติมสารโคแอกกูแลนต์เพื่อทำลายเสถียรภาพของคอลลอยด์ ดังนั้นระดับความปั่นป่วนและเวลาผสม ซึ่งเป็นเวลาที่น้ำอยู่ภายใต้ความปั่นป่วนดังกล่าว จึงเป็นปัจจัยที่มีอิทธิพลหรือควบคุมการทำงานของกระบวนการโคแอกกูเลชัน พารามิเตอร์ที่ใช้เป็นดัชนีบอกระดับความปั่นป่วนของน้ำ คือความเร็วเกรเดียนต์ (velocity gradient) ถึงกวนเร็วมักมีค่า  $G$  ไม่ต่ำกว่า  $300 \text{ วินาที}^{-1}$  แต่ถึงกวนช้ามักมีค่า  $G$  อยู่ในช่วง  $60-100 \text{ วินาที}^{-1}$  (Camp, 1968) พลังงานที่ใช้ในการกวนน้ำเพื่อสร้างความปั่นป่วน คำนวณได้จากสมการของแคมป์ (Camp, 1968)

$$G = (P/\mu V)^{0.5}$$

$$G = \text{ความเร็วเกรเดียนต์หรือระดับความปั่นป่วน (วินาที}^{-1}\text{)}$$

$$P = \text{พลังงานที่ใช้ในการสร้างความปั่นป่วน (นิวตัน-เมตร/วินาที)}$$

$$\mu = \text{ความหนืด (viscosity) ของน้ำ (นิวตัน-วินาทีต่อ ตร.ม.)}$$

$$V = \text{ปริมาตรของน้ำในถังกวนเร็ว (ลบ.ม.)}$$

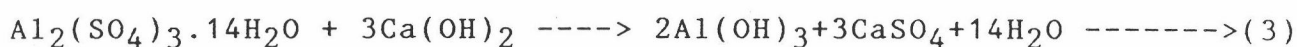
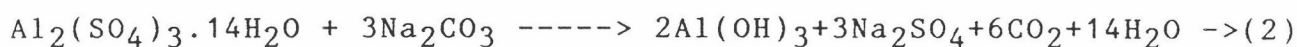


### 3.1.3 สารโคแอกกูแลนต์

1) สารส้ม (alum) มีสูตรโมเลกุล  $Al_2(SO_4)_3 \cdot 14H_2O$  เป็นสารเคมีที่เป็นที่ยอมรับและนิยมใช้กันทั่วไปในกระบวนการโคแอกกูแลชั่น มักจะเกิดรูปเชิงซ้อนของอลูมิเนียมไฮดรอกไซด์ มีวาเลนซ์เท่ากับ +3 ทำให้มีความสามารถในการลดประจุของอนุภาคคอลลอยด์ได้

ปฏิกิริยาทางเคมีของสารส้มในการผลิตน้ำดื่มสมการต่อไปนี้

(Stumm & Morgan 1970)



ในสมการเคมีที่ (1) การรักษาระดับสภาพต่างทำได้โดยไบคาร์บอเนต  
ในน้ำ

ในสมการเคมีที่ (2) การรักษาระดับสภาพต่างทำได้โดยเติมโซดาแอช

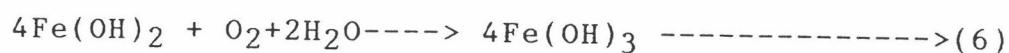
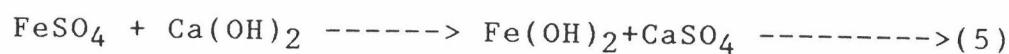
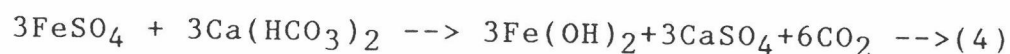
ในสมการเคมีที่ (3) การรักษาระดับสภาพต่างทำได้โดยเติมปูนขาว

ในการใช้สารส้มสิ่งที่จะต้องคอยควบคุมไปด้วยคือพีเอช ซึ่งช่วงที่เหมาะสมคือ 5.5 - 7.8 (Fair, Geyer and Morris, 1963)

2) เพอร์รัสซัลเฟต (copperas) มีสูตรโมเลกุลคือ  $FeSO_4 \cdot 7H_2O$

มีช่วงการทำงานกว้างมาก คือพีเอช 4-11 ซึ่งมากกว่าของสารส้ม แต่ค่าพีเอชที่เหมาะสมคือควรให้มากกว่า 8 เพื่อให้แน่ใจในทางปฏิบัติมักจะมีการเติมปูนขาวลงไปพร้อมกับเพอร์รัสซัลเฟต (Fair, Geyer and Morris, 1963)

ปฏิกิริยาทางเคมีของเพอร์ริสซัลเฟตในการผลิตน้ำดังสมการต่อไปนี้

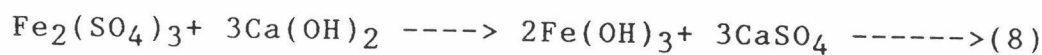
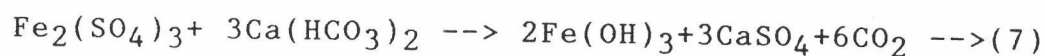


โดยจะต้องควบคุมให้มีปริมาณออกซิเจนพอเพียงต่อการเกิดปฏิกิริยาออกซิเดชัน ส่วนการเตรียมความเข้มข้นของเพอร์ริสซัลเฟตควรทำให้ไม่เกิน 5% และต้องใช้เวลาในการละลายอย่างต่ำ 5 นาที (Fair, Geyer and Morris, 1963)

3) เพอร์ริกซัลเฟต มีสูตรโมเลกุล  $\text{Fe}_2(\text{SO}_4)_3 \cdot 7\text{H}_2\text{O}$

มีช่วงการทำงานที่พีเอช 4-11 เหมือนกับเพอร์ริสซัลเฟต ช่วงพีเอชที่ทำงานได้ดี คือ มากกว่า 8 (Fair, Geyer and Morris, 1963)

ปฏิกิริยาทางเคมีของเพอร์ริกซัลเฟตในการผลิตน้ำ ดังสมการต่อไปนี้



การเตรียมสารละลายสามารถเตรียมให้มีความเข้มข้นถึง 25% โดยใช้เวลาในการละลาย 30 นาที และมีการกวนตลอดเวลาเพื่อให้เกิดการละลายอย่างสมบูรณ์ (Fair, Geyer and Morris, 1963)

### 3.1.4 โพลีเมอร์

#### 3.1.4.1 ชนิดของสารโพลีอิเล็กโทรไลต์

สารโพลีอิเล็กโทรไลต์เป็นกลุ่มของโพลีเมอร์ที่มีสมบัติเฉพาะ มีโมโนเมอร์ซึ่งสามารถนำพาประจุหรือแตกตัวเป็นไอออนทำให้เกิดสารประกอบที่มีประจุไฟฟ้าชนิดต่างๆ อาจมีประจุบวก(cationic polyelectrolytes)หรือมีประจุลบ(anionic polyelectrolytes)หรือไม่มีประจุ(non-ionic polyelectrolytes) โดยทั่วไปสารโพลีอิเล็กโทรไลต์เป็นอนุภาคคอลลอยด์ที่ชอบน้ำ มีน้ำหนักโมเลกุลอยู่ในช่วง 10,000 ถึง 10,000,000(Bratby, 1990) ปัจจุบันมีบทบาทในการใช้งานมากขึ้นเป็นลำดับทั้งเพื่อการปรับสภาพน้ำดีและในการบำบัดน้ำเสีย

สารโพลีอิเล็กโทรไลต์มีทั้งที่ได้จากธรรมชาติ เช่น แป้ง ยางไม้ สาหร่ายทะเลสกัด และสารที่ได้จากการสังเคราะห์ แต่จากกระบวนการสังเคราะห์จะสามารถควบคุมสมบัติต่างๆได้ทั้งปริมาณ ชนิดประจุ และน้ำหนักโมเลกุล ฯลฯ สารดังกล่าวจึงมีประสิทธิภาพในการใช้งานมากขึ้น สำหรับสารโพลีอิเล็กโทรไลต์สังเคราะห์ที่ใช้สำหรับการปรับแต่งสภาพน้ำดิบเพื่อการอุปโภคบริโภคจำเป็นต้องพิจารณาถึงอันตรายที่อาจเกิดขึ้นกับผู้อุปโภคบริโภคด้วย เนื่องจากมักมีสารเจือปนตกค้างอยู่เสมอ ตารางที่ 3.1 เป็นตัวอย่างของสารโพลีอิเล็กโทรไลต์สังเคราะห์ที่ใช้เป็นสารฟล็อกกูแลนต์

ตารางที่ 3.1 สารโพลีอิเล็กโทรไลต์ที่ใช้เป็นสารฟล็อกกุลแลนต์ (Bratby, 1990)

Name	Charge type	Manufacturer and localtion
Manifloc 835A	Anionic, high charge	American Cyanamid Co. Wayne, New Jersey
MANifloc 820A	Anionic, intermediate charge	American Cyanamid Co. Wayne, New Jersey
Manifloc 905N	Nonionic	American Cynamid Co. Wayne, New Jersey
Puriflloc N-17	Nonionic	Dow Chemical Co. Midland, Michigan
Manifloc 507C	Cationic, moderate charge	American Cynamid Co. Wayne, New Jersey
Manifloc 573C	Cationic, moderate charge	American Cynamid Co. Wayne, New Jersey

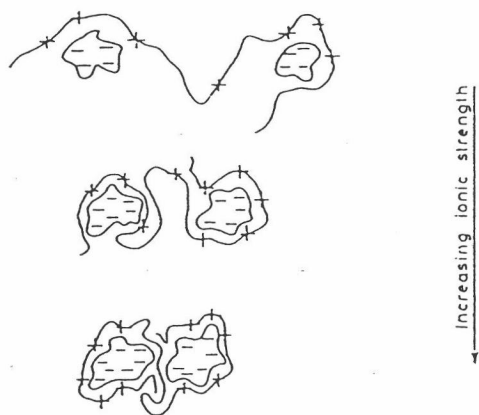
การจัดหมวดหมู่สารโพลีอิเล็กโทรไลต์สามารถกระทำได้หลายรูปแบบตามสมบัติและประโยชน์การใช้งาน กล่าวคืออาจแบ่งได้ตามแหล่งกำเนิดโครงสร้างหรือขนาดของโมเลกุลหรือแบ่งตามชนิดของประจุที่เกิดขึ้นในโมเลกุล ฯลฯ งานที่นี้จะกล่าวถึงประเภทของสารโพลีอิเล็กโทรไลต์ที่สังเคราะห์ขึ้นตามชนิดของประจุที่เกิดขึ้นในโมเลกุล

น้ำหนักโมเลกุลของโพลีเมอร์แบ่งออกได้ 4 ระดับ (Schwyer, 1981) คือ

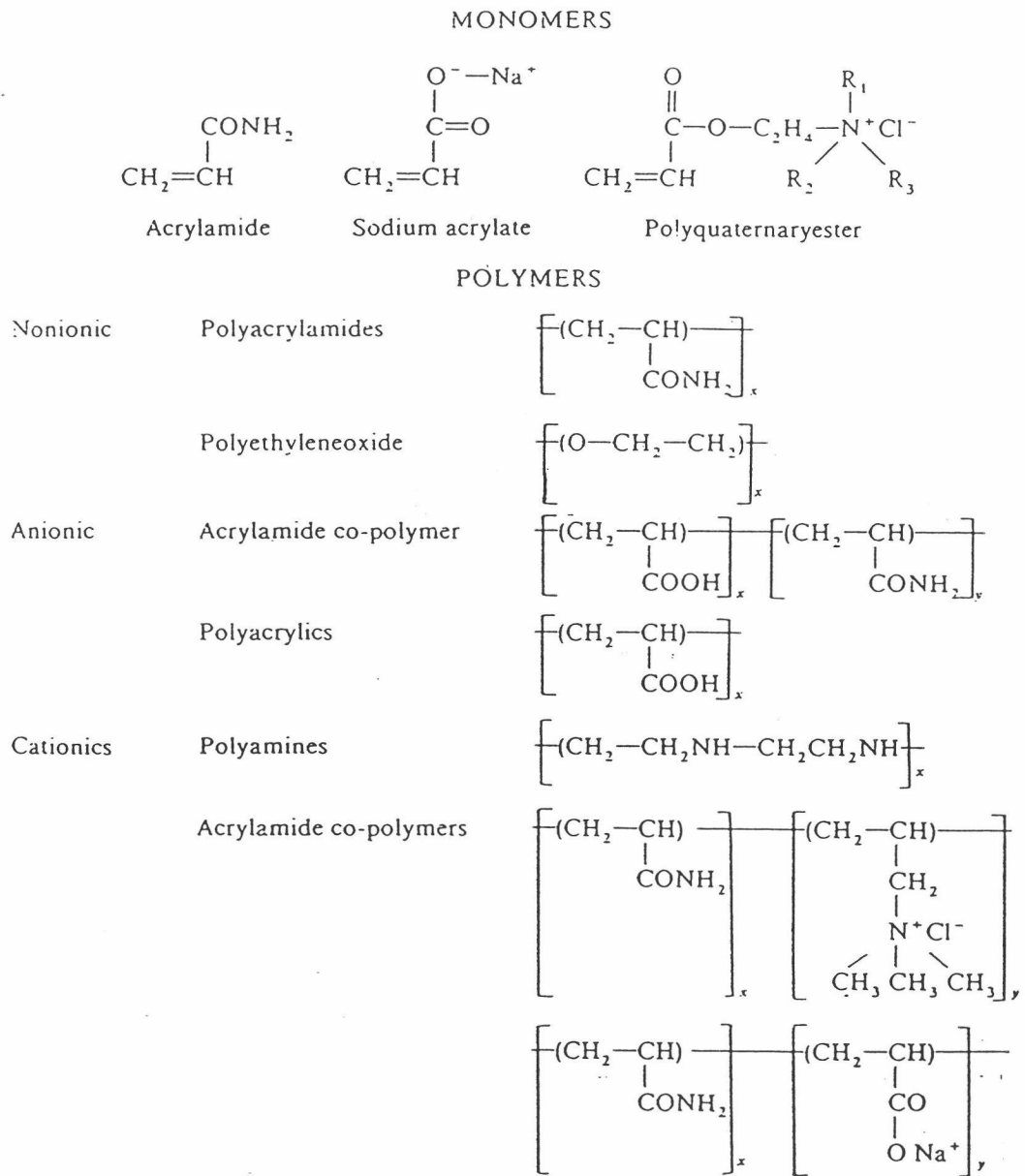
ระดับสูง	น้ำหนักโมเลกุลเท่ากับ	$20 \times 10^6$
ระดับกลาง	น้ำหนักโมเลกุลเท่ากับ	$10 \times 10^6$
ระดับต่ำ	น้ำหนักโมเลกุลเท่ากับ	$5 \times 10^6$
ระดับต่ำมาก	น้ำหนักโมเลกุลเท่ากับ	$1 \times 10^6$

ทั้งนี้ น้ำหนักโมเลกุลที่สูงมีผลทำให้พอลิเมอร์รวมตัวกันและตกตะกอนได้เร็วขึ้น

รูปที่ 3.3 แสดงการทำลายประจุและการสร้างสะพานเชื่อมอนุภาคสำหรับโพลีอิเล็กโทรไลต์ที่อาศัยกลไกสะเทินประจุเป็นหลัก เมื่อโพลีอิเล็กโทรไลต์ชนิดใดมีความแข็งแรงของประจุสูงกว่าชนิดอื่น โพลีอิเล็กโทรไลต์ชนิดนั้นจะมีความสามารถในการพล็อกกุลเลชันได้ดีกว่าโพลีอิเล็กโทรไลต์ชนิดอื่นด้วย ส่วนรูปที่ 3.4 แสดงโครงสร้างโมโนเมอร์และโพลีเมอร์ไม่มีประจุ ประจุลบและประจุบวก



รูปที่ 3.3 การทำลายประจุและการสร้างสะพานเชื่อมอนุภาค  
(Hughes, 1990)



รูปที่ 3.4 โครงสร้างโมโนเมอร์และโพลีเมอร์ไม่มีประจุ ประจุลบ และประจุบวก (Hughes, 1990)

### 3.1.4.1.1 สารโพลีอิเล็กโทรไลต์ที่ทำให้ประจุบวก

สารโพลีอิเล็กโทรไลต์สังเคราะห์ที่มีประจุบวกมีหลายรูปแบบ (Schwayer, 1981) ได้แก่

1) โพลีอามีน (polyamine): เป็นสารที่มีน้ำหนักโมเลกุลไม่เกิน  $10^5$  แต่มีปริมาณประจุบวกสูง เช่น โพลีเอทีลีน อามีน และโพลีเอทีลีนไอมีน (PEI) สารกลุ่มนี้ใช้มากในอุตสาหกรรมกระดาษและใช้บ้างในการศึกษาปฏิกิริยาฟลોકกูเลชัน

2) โพลีเอทีลีน ควอเทอนารี (polyethylene quarternary): เป็นสารที่ไม่ตอบสนองต่อการเปลี่ยนแปลงพีเอช และมีความต้านทานต่อการสลายตัวโดยคลอรีนมากกว่าโพลีเมอร์ทั่วไป จึงมักมีความสำคัญในการคลอรีเนตน้ำดิบ

3) แคตไอออนนิก ไซยานามีน (cationic cyanamine): เป็นสารโพลีอิเล็กโทรไลต์ที่มีน้ำหนักโมเลกุลค่อนข้างต่ำประมาณ  $1 \times 10^3$  ถึง  $1 \times 10^5$  เริ่มแรกนำมาใช้เพื่อปรับปรุงสมบัติกระดาษ แต่ก็พบว่าสามารถแสดงปฏิกิริยาทำลายเสถียรภาพของคอลลอยด์ได้ด้วยเช่นกัน

4) คาโบโมยิล โพลีเมอร์แคตไอออน (cabomoyl cationic polymer): เป็นกลุ่มสารที่มีความสำคัญในทางการค้า และใช้งานได้เอนกประสงค์ มีน้ำหนักโมเลกุลสูงกว่า  $10^6$  มีความหนืดสูงและมีสารที่ไวต่อปฏิกิริยาอยู่น้อยเมื่ออยู่ในสารละลาย

5) โพลี แอลฟา-ไวเนลไมดาโซลีน (poly -vinyl midasoline): เป็นโพลีเมอร์พวกโพลีไซคลิกอามีน มีโครงสร้างพิเศษสำหรับการเป็นฟลોકกูแลนต์ ทั้งนี้เพราะมีความเป็นประจุบวกสูงมากและมีน้ำหนักโมเลกุลปานกลางจนถึงสูง

6) โพลีไดอัลลิลเมททิล แอมโมเนียมคลอไรด์ (polydiallylmethyl ammonium chloride): เป็นโพลีเมอร์ที่มีโครงสร้างเชิงเส้น มีน้ำหนักโมเลกุลช่วงต่ำถึงปานกลาง (น้อยกว่า  $10^6$ ) มีความต้านทานต่อคลอรีนและไม่ตอบสนองต่อการเปลี่ยนแปลงพีเอช

7) ไดเมททิล อะมิโนอัลคิล อะครีลิก(dimethyl aminoalkyl acrylic) และเมททาไซคลิกเอสเทอร์โพลีเมอร์(metacyclic ester polymer): เป็นโพลีเมอร์ที่มีน้ำหนักโมเลกุลสูง มีความไวในสภาพตัวกลางที่เป็นกรดหรือเบส ใช้เป็นฟล็อกกูแลนต์ สารกลุ่มนี้มีราคาค่อนข้างสูง

8) เอ็น-ไดอัลคิลอะมิโนอัลคิล อะครีลาไมด์ โพลีเมอร์:(n-dialkylaminoalkyl acrylamide polymer) โพลีเมอร์กลุ่มนี้ได้รับความสนใจในการใช้เป็นสารฟล็อกกูแลนต์เพราะมีเสถียรภาพต่อการไฮโดรไลซิสและมีน้ำหนักโมเลกุลสูง

#### 3.1.4.1.2 สารโพลีอิเล็กโทรไลต์สังเคราะห์ที่มีประจุลบ

สารโพลีอิเล็กโทรไลต์ที่ให้ประจุลบโดยทั่วไปเป็นสารที่มีน้ำหนักโมเลกุลอยู่ในช่วงสูงถึงสูงมาก(Schwayer, 1981) มักใช้เป็นสารฟล็อกกูแลนต์ โพลีเมอร์ที่มีประจุลบมากและมีน้ำหนักโมเลกุลต่ำจะมีพฤติกรรมเป็นสารที่ช่วยกระจาย(dispersants)สลัดจ์ในสารละลาย รูปแบบส่วนใหญ่มักเป็นกลุ่มคาร์บอกซิเลตไอออนได้แก่ โพลีเมอร์ที่มีหมู่คาร์บอกซิเลต(carboxylate) เช่น โพลีโพรพิลีนอะครีลิกแอซิด(homopolyacrylic acid) และพวกที่มีหมู่ซัลโฟนิคแอซิด(sulfonic acid)เช่น เกลือโซเดียมของโพลีสไตรีน ซัลโฟนิค แอซิด(polystyrene sulfonic acid)

#### 3.1.4.1.3 สารโพลีอิเล็กโทรไลต์ที่ไม่มีประจุ

หมายถึงพวกโพลีเมอร์ที่มีประจุต่ำกว่า 1% ในสารละลาย(Schwayer, 1981) โพลีเมอร์เหล่านี้จะทำให้เกิดฟล็อกกูแลชันโดยใช้กลไกการสร้างสะพานเชื่อมเป็นหลัก ในการใช้งานจึงต้องมีน้ำหนักโมเลกุลสูงหรือสูงมาก ตัวอย่างสารฟล็อกกูแลนต์ที่สำคัญได้แก่ โพลีเอทิลีนออกไซด์(polyethylene oxides) และโพลีอะครีลาไมด์(polyacrylamide) ส่วนโพลีไวนิลไพโรไลโดนอน(polyvinyl pyrrolidone) มักถูกใช้ในอุตสาหกรรมอาหาร



### 3.1.4.2 กลไกการทำลายเสถียรภาพโดยโพสิอี เลคโทรไลต์

กลไกที่เกิดจากการใช้โพสิอี เลคโทรไลต์สามารถแยกได้เป็น 2 แบบ คือ กลไกซึ่งเกิดจากการใช้โพสิอี เลคโทรไลต์ดูดติดบนผิวของอนุภาคคอลลอยด์ แล้วเชื่อมอนุภาคเหล่านั้นเข้าด้วยกัน และกลไกซึ่งเกิดจากโพสิอี เลคโทรไลต์ซึ่งมีประจุตรงกันข้ามกับอนุภาคคอลลอยด์ดูดติดกับอนุภาค และลดแรงผลักระหว่างอนุภาค กลไกทั้งสองแบบจะสนับสนุนซึ่งกันและกันหรือต่อต้านกันขึ้นอยู่กับว่ามีแรงดึงดูดระหว่างโพสิอี เลคโทรไลต์และอนุภาคมากน้อยแค่ไหน ซึ่งกลไกทั้งสองได้แก่ กลไกการใช้สะพานเชื่อมอนุภาค และกลไกเกิดหย่อมประจุไฟฟ้าสถิตย์ตามลำดับ

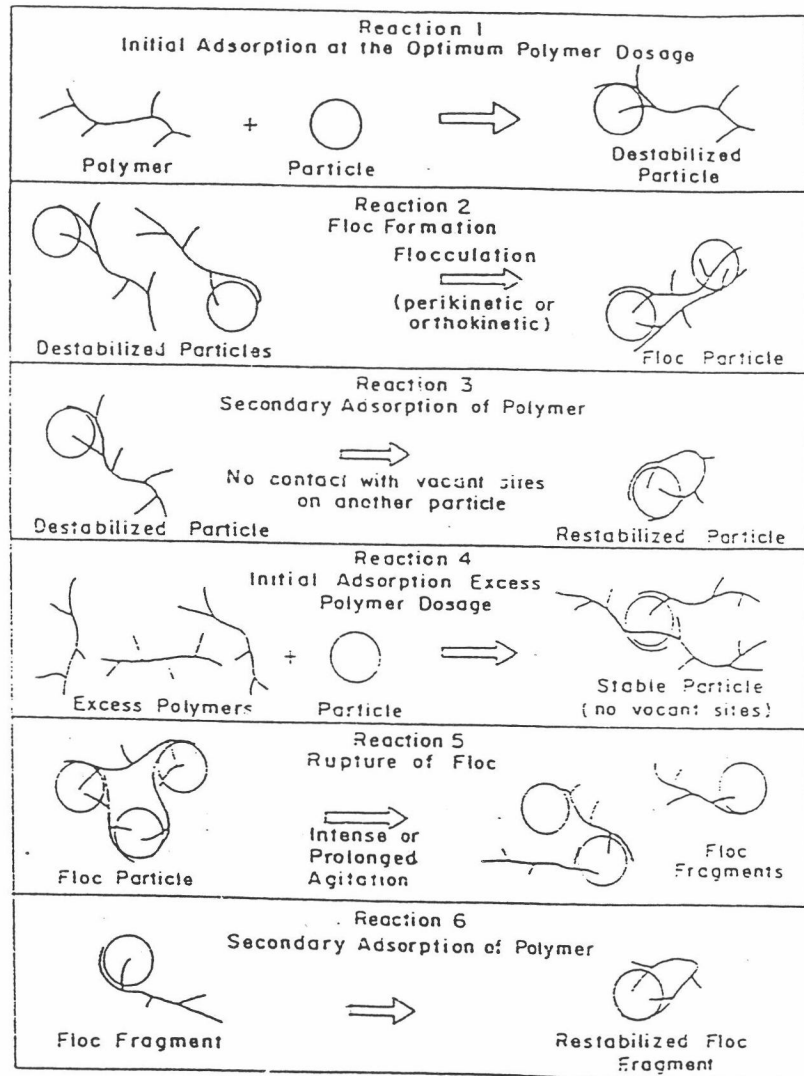
#### 3.1.4.2.1 กลไกการใช้สะพานเชื่อมอนุภาค

กลไกสะพานเชื่อมอธิบายได้ดังรูปที่ 3.5 (Bratby, 1980) และมีรายละเอียดดังต่อไปนี้

ปฏิกิริยาที่ 1 จะเป็นปฏิกิริยาเมื่อเติมโพสิอี เลคโทรไลต์ลงในน้ำ จะเกิดการยึดเกาะกันของโมเลกุลของโพสิอี เลคโทรไลต์กับอนุภาคคอลลอยด์ การเกาะติดอาจเป็นผลเนื่องจากประจุที่ต่างกัน หรือเป็นแรงของปฏิกิริยาเคมีที่เกิดขึ้นระหว่างประจุที่เหมือนกันของโพสิอี เลคโทรไลต์และคอลลอยด์ อนุภาคที่มีโพสิอี เลคโทรไลต์เกาะติดอยู่ถือว่าเป็นอนุภาคที่สูญเสียเสถียรภาพแล้ว ปลายโมเลกุลส่วนที่เหลือของโพสิอี เลคโทรไลต์จะแผ่ขยายสู่เนื้อสารละลาย

ปฏิกิริยาที่ 2 จะเป็นการจับอนุภาคคอลลอยด์ของปลายโมเลกุลที่เหลือของโพสิอี เลคโทรไลต์ ซึ่งการจับจะเกิดขึ้นต่อเมื่ออนุภาคคอลลอยด์ที่จะจับมีที่ว่างบนผิวอนุภาค

ปฏิกิริยาที่ 3 เกิดเมื่ออนุภาคคอลลอยด์ตัวอื่นไม่มีที่ว่างบนผิว ในที่สุดปลายอิสระนั้นก็จับอนุภาคเดิม ทำให้ไม่มีปลายอิสระไว้จับบนอนุภาคตัวอื่น ซึ่งทำให้ตำแหน่งว่างบนอนุภาคสำหรับยึดเกาะน้อยลงกลายเป็นอนุภาคที่มีเสถียรภาพกลับคืนมาใหม่



รูปที่ 3.5 การทำลายเสถียรภาพอนุภาคคอลลอยด์ด้วยกลไกการสร้างสะพานโดยสารโพลีอิเล็กโทรไลต์ (Bratby, 1980)

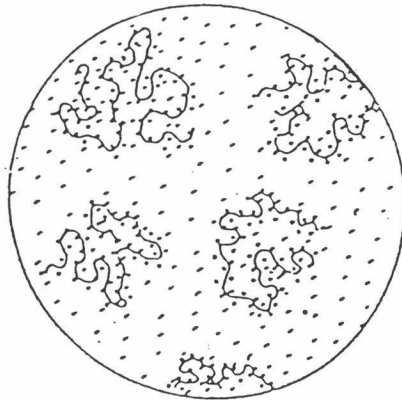
ปฏิกิริยาที่ 4 จะเกิดเมื่อใช้โพลีอีเลคโตรไลต์มากเกินไป ทำให้โพลีอีเลคโตรไลต์หลายโมเลกุลจับบนอนุภาคคอลลอยด์จนกระทั่งไม่มีที่ว่างบนอนุภาค ทำให้อนุภาคนั้นกลับมีเสถียรภาพคืนมาใหม่

ปฏิกิริยาที่ 5 จะเกิดเมื่อมีการกวนผสมที่รุนแรงหรือนานเกินไปจนเกิดการทำลายฟล็อกที่เกิดขึ้น ทำให้ฟล็อกแตกออกเป็นส่วนๆ

ปฏิกิริยาที่ 6 เมื่อฟล็อกแตกออกปลายอิสระของสารโพลีอีเลคโตรไลต์อาจจะเกาะจับบนอนุภาคเดิม ทำให้เสถียรภาพคอลลอยด์กลับคืนมาใหม่

#### 3.1.4.2.2 กลไกเกิดหย่อมประจุไฟฟ้าสถิตย์

กลไกนี้ใช้อธิบายการเกาะของโพลีอีเลคโตรไลต์ที่มีประจุตรงข้ามกับอนุภาคที่ต้องการทำลายเสถียรภาพ หรือการใช้ประจุลบช่วยในการรวมฟล็อกของอนุภาคคอลลอยด์ที่ถูกทำลายเสถียรภาพด้วยโคแอกกูแลนต์จากสารประกอบจำพวกโลหะ และการเกิดปรากฏการณ์แรงดึงดูดทางไฟฟ้าสถิตย์ที่ค่อนข้างรุนแรงซึ่งการเกิดกลไกสร้างสะพานไม่น่าจะส่งผลเช่นนั้นได้ ปกติประจุบนผิวของอนุภาคจะค่อนข้างคงที่ เมื่อเติมโพลีอีเลคโตรไลต์ที่มีประจุตรงข้ามกับประจุของอนุภาค โพลีอีเลคโตรไลต์จะไปเกาะบนผิวของอนุภาคเป็นหย่อมๆ ทำให้เกิดตำแหน่งที่มีประจุบวกค่อนข้างสูง ล้อมรอบด้วยประจุลบที่มีค่าน้อยกระจายทั่วทั้งอนุภาค ดังแสดงในรูป 3.6 และทำให้เกิดอนุภาคที่มีตำแหน่งประจุบนผิวต่างๆกันคือ บางส่วนยังคงเป็นลบ บางส่วนกลายเป็นบวก การทำลายเสถียรภาพจะเกิดขึ้นเมื่ออนุภาคซึ่งมีประจุไฟฟ้าที่แตกต่างกันเป็นหย่อมๆ เคลื่อนที่มาใกล้กันแล้ว เกิดแรงดึงดูดทางไฟฟ้าสถิตย์ระหว่างหย่อมประจุไฟฟ้าที่มีประจุที่แตกต่างกัน



รูปที่ 3.6 ความเป็นไปได้ในการจัดเรียงตัวของสารฟอสฟอรัสสีแดงที่อุณหภูมิห้อง  
ที่มีความหนาแน่นของประจุลบต่ำ (Bratby, 1980)

### 3.1.5 สมมติฐานเบื้องต้นของการเกิดเพลลีสต์

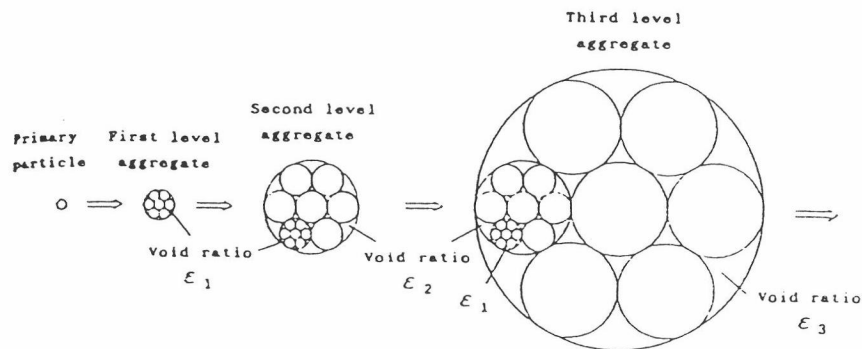
สมมติฐานของการเกิดเพลลีสต์สามารถอธิบายได้ด้วยสมมติฐาน 2 ข้อ (Tambo and Wang, 1993) ดังนี้

#### 3.1.5.1 สมมติฐานการจำกัดระดับการรวมตัว

จากรูป 3.7 จะพบว่าถ้ามีระดับการรวมตัวมากจะทำให้เกิดช่องว่างภายในฟอสฟอรัส ดังนั้นเพื่อที่จะเกิดเพลลีสต์จึงต้องควบคุมให้มีระดับการรวมตัวเพียงระดับเดียว จากสมมติฐานนี้กลไกการจับตัวกันแบบหนึ่งต่อหนึ่ง (one by one attachment) จึงถูกคิดค้นขึ้น (Tambo and Wang, 1993)

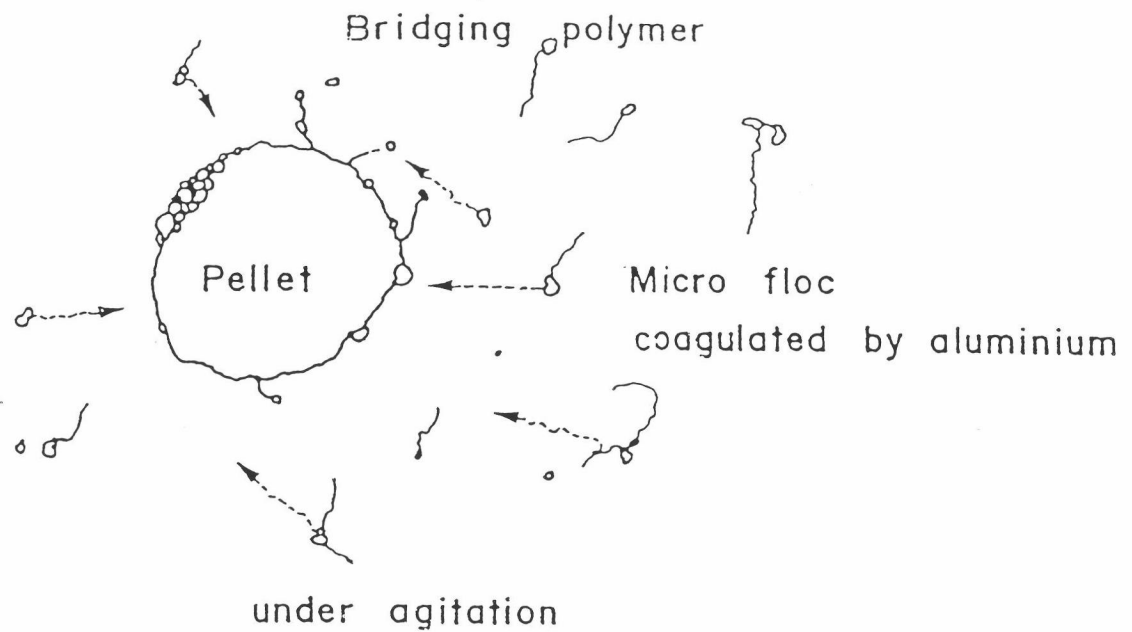
จากสมมติฐานดังกล่าวจึงนำไปสู่การคิดค้นกระบวนการสร้างเพลลีสต์แบบไหลขึ้นเพื่อใช้กำจัดความขุ่นทั้งนี้โดยการสร้างสภาวะเสถียรแบบเมตะให้เกิดขึ้นโดยการเติมสารโคแอกกูแลนต์ลงไปในขั้นตอนการกวนเร็วเพื่อทำลายเสถียรภาพของคอลลอยด์ คอลลอยด์ที่ถูกทำลายเสถียรภาพจะรวมตัวกันหรือรวมกับสาร

โคแอกกูแลนต์เกิดเป็นจุลฟล็อก แต่จุลฟล็อกเหล่านี้ยังมีขนาดและความเข้มข้นไม่มากพอที่จะเกิดการจับตัวกันได้เอง เมื่อจุลฟล็อกเหล่านี้เข้าไปรวมกับเฟลลิตที่ขนาดใหญ่และแข็งแรงภายในอุปกรณ์สร้างเฟลลิตก็เกิดการจับตัวกันระหว่างจุลฟล็อกกับเฟลลิตเหล่านั้นโดยเป็นการจับกันแบบหนึ่งต่อหนึ่ง ทำให้ไม่มีโมเลกุลของน้ำแทรกอยู่ภายในหรือน้อยมาก จึงเกิดเป็นเฟลลิตที่มีความหนาแน่นสูง ดังแสดงในรูปที่ 3.8



รูปที่ 3.7 ขั้นตอนการรวมตัวของฟล็อกที่มีระดับการรวมตัวหลายชั้น

(Tambo and Wang, 1993)



### Application of Metastable State Operation for Clay Suspension

รูปที่ 3.8 การจับตัวกันแบบหนึ่งต่อหนึ่งภายในสภาวะเสถียรแบบเมตะ (Tambo and Matsui, 1987)

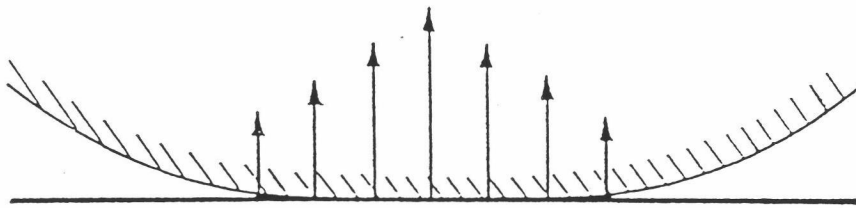
#### 3.1.5.2 สมมติฐานการลดอัตราส่วนช่องว่าง

เมื่อมีการรวมตัวกันในหลายระดับ จะทำให้มีโมเลกุลของน้ำถูกกักภายในฟล็อก เพื่อที่จะลดปริมาณน้ำที่ถูกกักภายในฟล็อกจึงต้องมีกระบวนการแปลงรูปของฟล็อกเกิดขึ้นเพื่อกำจัดน้ำภายในฟล็อก ทำให้ฟล็อกมีความหนาแน่นสูงขึ้น กลไกที่ทำให้เกิดกระบวนการแปลงรูปของฟล็อกนั้นสามารถอธิบายได้ด้วยเทคนิคการกลิ้งและเทคนิคการชน ซึ่งถูกเสนอโดย Yusa (1975)

##### 3.1.5.2.1 เทคนิคการกลิ้ง (rolling technique)

เมื่อเม็ดฟล็อกสัมผัสกับพื้นผิวที่จุดหนึ่งๆ ซึ่งเป็นพื้นที่เสถียรแรงดันภายนอกจะมีค่าสูงสุด ณ บริเวณจุดกึ่งกลางของพื้นผิวสัมผัสซึ่งเป็นจุดที่ฟล็อกจะเกิดการยุบ

ตัวมากที่สุด และแรงดันภายนอกจะค่อยๆลดลงเมื่ออยู่ห่างออกไปจากจุดสัมผัสตามลำดับ (ดังแสดงในรูป 3.9)

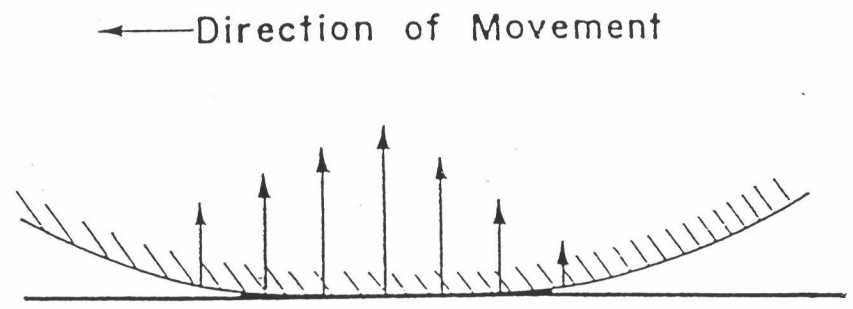


Pressure Distribution Around  
the Contact Area When a  
Floc is at Rest on a Solid Plane

รูปที่ 3.9 การกระจายของแรงเมื่อเล็อกหยุดนิ่ง

(Yusa, Suzuki and Tanaka, 1975)

หากมีการกลิ้งฟล็อกไปข้างหน้า จุดสัมผัสจะถอยไปข้างหน้าของตำแหน่งเดิมจะเป็นจุดที่มีแรงดันภายนอกสูงสุด จะเห็นได้ว่าการกลิ้งฟล็อกไปบนผิวเรียบหรือโค้งทำให้แรงกระทำต่อฟล็อกไม่สม่ำเสมอ (ดังแสดงในรูป 3.10) ฟล็อกจึงเกิดการเปลี่ยนแปลงรูปร่าง เป็นผลให้หน้าซึ่งแทรกอยู่ภายในเม็ดฟล็อกถูกกรีดออกมา



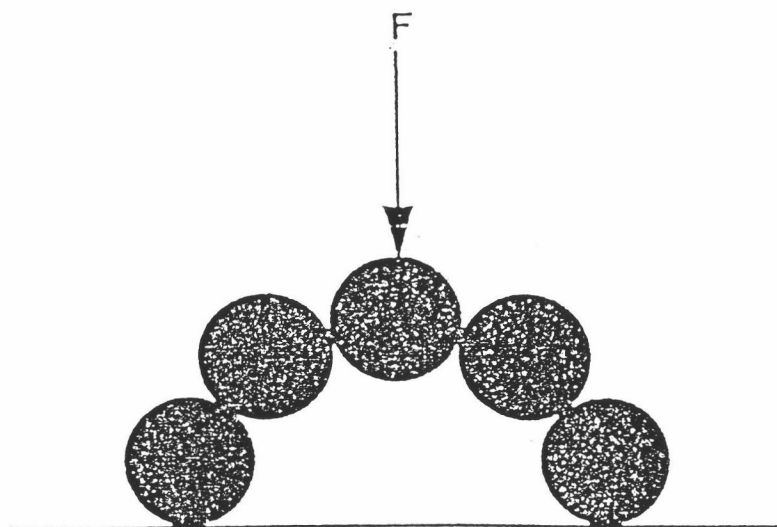
Pressure Distribution Around the Contact Area When a Floc Rolls Over Along a Solid Plane

รูปที่ 3.10 การกระจายของแรงเมื่อฟล็อกกลิ้ง (Yusa, Suzuki and Tanaka, 1975)

3.1.5.2.2 เทคนิคการชน (collision technique)

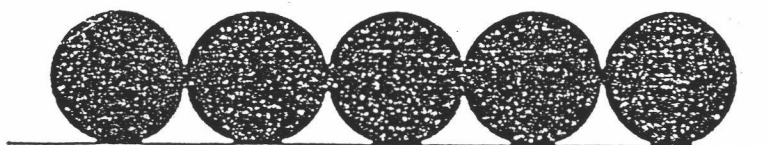
การบังคับให้ฟล็อกวิ่งมาชนกัน หรือชนพื้นผิวเรียบหรือโค้ง จะทำให้เกิดแรงเฉือนระหว่างอนุภาคเล็กๆภายในฟล็อก ทำให้เกิดการจัดเรียงอนุภาคเล็กๆขึ้นใหม่ในลักษณะที่ชิดกัน เป็นผลให้พื้นที่แทรกอยู่ภายในเม็ดฟล็อกถูกรีดออกมา ดังแสดงในรูปที่ 3.11 และ 3.12





Internal Constitution of a  
Loose Bulky Floc Produced by  
Normal Flocculation

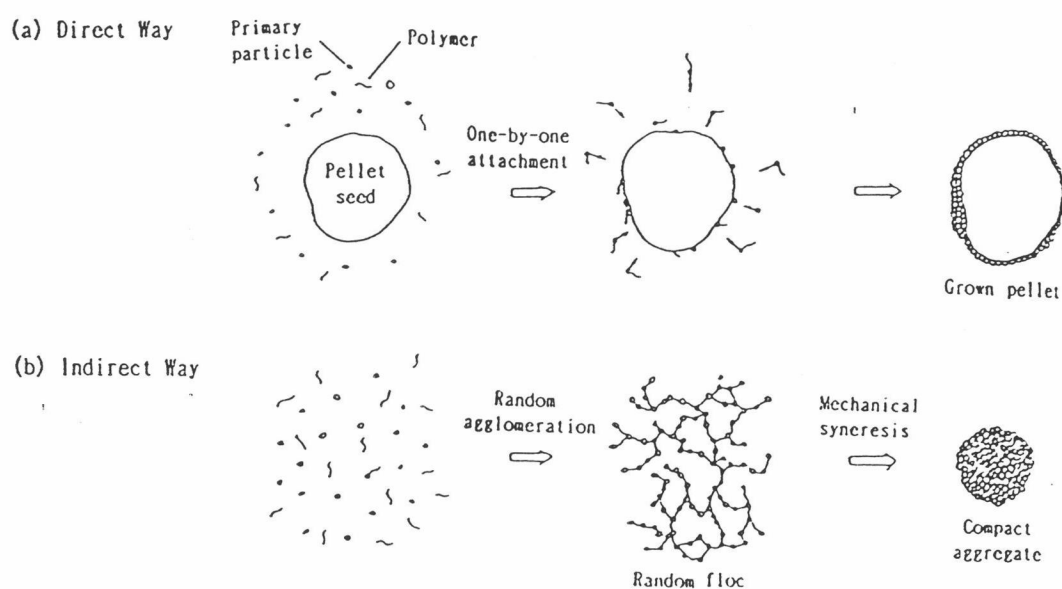
รูปที่ 3.11 การจัดเรียงของอนุภาคภายในฟล็อกก้อนชน (Yusa, Suzuki and  
Tanaka, 1975)



Internal Constitution of a  
Compact Floc Produced as the  
Result of Pellet Flocculation

รูปที่ 3.12 การจัดเรียงของอนุภาคภายในเม็ดฟล็อกหลังชน  
(Yusa, Suzuki and Tanaka, 1975)

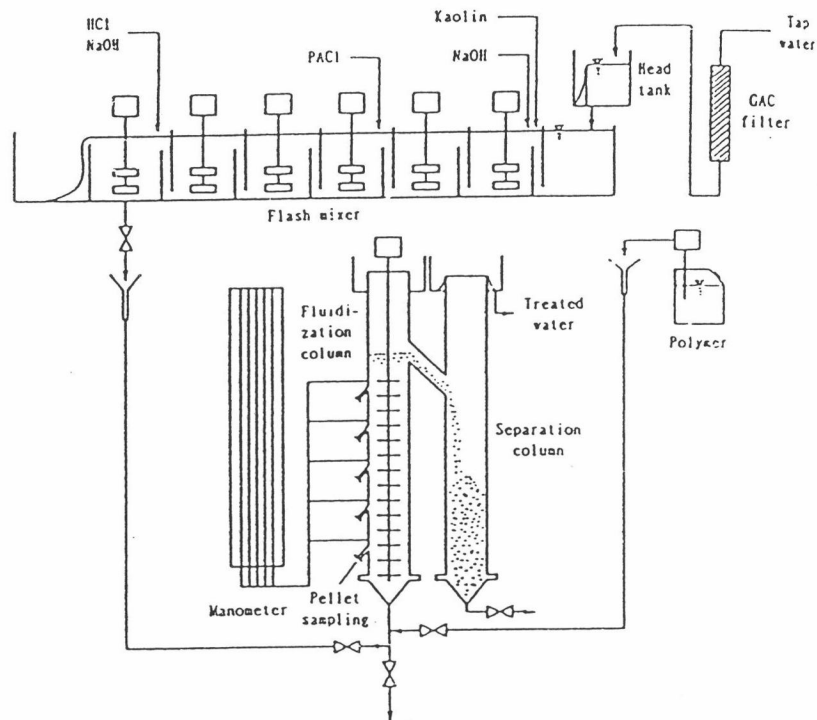
จากการพิจารณาสมมติฐานทั้งสองข้อ จะสามารถเปรียบเทียบข้อแตกต่างของสมมติฐานทั้งสองได้ดังรูปที่ 3.13 กล่าวคือเพลเล็ตที่เกิดตามสมมติฐานข้อแรกจะเกิดจากการจับตัวกันแบบหนึ่งต่อหนึ่ง หรือการจាក់ระดับการรวมตัวให้อยู่เพียงระดับเดียว แต่เพลเล็ตที่เกิดตามสมมติฐานข้อสองจะเกิดขึ้นจากฟล็อกแบบสุ่มได้รับแรงกระทำทำให้น้ำภายในถูกขับออก จึงเกิดเพลเล็ตที่มีความหนาแน่นสูง



รูปที่ 3.13 เปรียบเทียบสมมติฐานการเกิดเพลเล็ตทางตรงและทางอ้อม  
(Tambo and Wang, 1993)

### 3.1.6 หลักการของกระบวนการสร้างPelletแบบไหลขึ้น

กระบวนการสร้างPelletจะประกอบด้วยส่วนสำคัญ 2 ส่วนคือส่วนที่เกิดการทำลายเสถียรภาพของคอลลอยด์ซึ่งเกิดขึ้นในถังกวนเร็วและส่วนสร้างPelletซึ่งเกิดในอุปกรณ์สร้างPelletแบบไหลขึ้น (Tambo and Matsui, 1987) ดังแสดงในรูป 3.14 และสามารถอธิบายได้ดังนี้



รูปที่ 3.14 อุปกรณ์สร้างPelletแบบไหลขึ้น  
(Tambo and Matsui, 1987)

- 1) ภาชนะกวนเร็วชนิดโรตอร์จะถูกลดลงในถังผสมเร็วเพื่อทำลายเสถียรภาพของคอลลอยด์ และทำให้เกิดจุลฟล็อกขึ้น
- 2) วัสดุเมอร์ประจุลบจะถูกลดลงไปในบริเวณด้านล่างของอุปกรณ์สร้างPelletแบบไหลขึ้น เพื่อเชื่อมประสานจุลฟล็อกกับเม็ดPelletในอุปกรณ์สร้างPellet
- 3) ภายในอุปกรณ์สร้างPellet จุลฟล็อกจะจับกับPelletแบบหนึ่งต่อหนึ่ง ทำให้เกิดPelletที่มีความหนาแน่นสูง

4) เพื่อป้องกันการโคแบบสุ่ม จึงมีการกวนซ้ำภายในอุปกรณ์สร้างเพลลิต ความปั่นป่วนของน้ำจะทำให้ฟล็อกหลวมแตกออกจากกัน และเคลื่อนตัวไปสัมผัสกับจุลฟล็อกเกิดการรวมตัวกับแบบหนึ่งต่อหนึ่งอีกครั้ง ได้เป็นเพลลิตทรงกลมแกร่งและมีความหนาแน่นสูง

### 3.2 การศึกษาที่ผ่านมา

3.2.1 Yusa และ Gaudin (1964) ได้ศึกษาถึงลักษณะของฟล็อกเมื่อมีแรงกระทำต่อฟล็อกขณะเกิดฟล็อก

วิธีการทดลองจะดำเนินการทดลองโดยใช้ hydrolyzed polyacrylamide เป็นสารโคแอกกูแลนต์ โดยเติมสารโคแอกกูแลนต์เข้มข้น 0.1% ลงในน้ำสังเคราะห์จากดินคาโอลิน แล้วกวนให้เข้ากัน จากนั้นจึงนำน้ำที่ผ่านการเติมสารโคแอกกูแลนต์แล้วไปใส่ในหลอดทดลองสองหลอด โดยหลอดแรกจะเขย่าอย่างรุนแรงตามแนวแกนยาวของหลอดด้วยอัตรา 5 ครั้งต่อ นาที ส่วนหลอดที่สองทำให้เกิดการผสมโดยการหมุนอย่างเบาๆ โดยให้แกนมุนทามุม 90 องศา กับแกนของหลอดแก้ว

ผลการทดลองพบว่า ในทั้งสองกรณีจะเกิดฟล็อกที่มีลักษณะกลมแกร่งและมีความหนาแน่นสูงคล้ายเพลลิต ซึ่งสามารถอธิบายได้ว่า การกวนผสมโดยวิธีเขย่าทำให้น้ำในเม็ดฟล็อกถูกขับออกมา ฟล็อกที่เกิดขึ้นจึงมีลักษณะคล้ายเพลลิต

3.2.2 Yusa, Suzuki และ Tanaka (1975) ได้ทำการศึกษาเรื่อง separating liquid form pellet flocculation ซึ่งเสนอทฤษฎีเกี่ยวกับการกัล้งและการชน ทำให้เกิดฟล็อกที่อัดแน่นและแข็งแรง

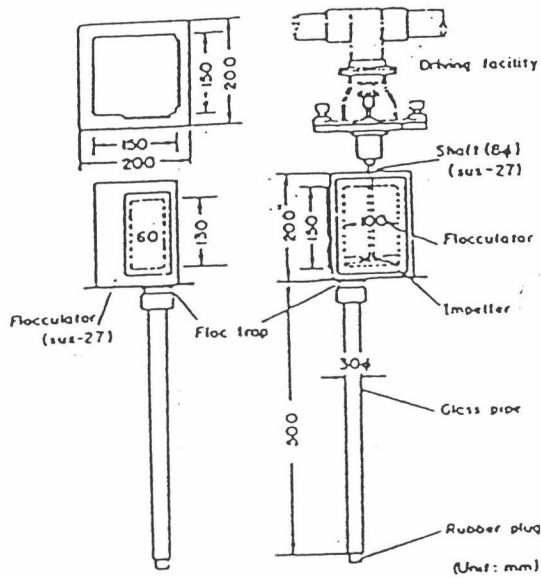
3.2.3 Tambo และ Watanabe (1978) ได้ศึกษาเรื่อง ความหนาแน่นของฟล็อกซึ่งเกิดจากอนุภาคดินเหนียวและอะลูมิเนียม โดยใช้อุปกรณ์ทดลองดังรูป 3.15 และคำนวณความหนาแน่นจาก Stoke's Law โดยวัดค่าความเร็วของการตกตะกอน เส้นผ่าศูนย์กลางของฟล็อก และค่าคงที่บางตัว เช่น ค่าความหนาแน่นของน้ำและความหนืด

วิธีการทดลอง จะดำเนินการทดลองโดยใช้สารโคแอกกูแลนต์สองชนิด คือ อะลูมิเนียมซัลเฟต และโพลีอะลูมิเนียมคลอไรด์ และใช้โซเดียมไฮดรอกไซด์ เป็นตัวปรับพีเอช ในกระบวนการโคแอกกูเลชันจะกวนเร็วที่ 100 รอบต่อนาที และกวนช้า 40 รอบต่อนาทีเป็นเวลานาน 30 นาที

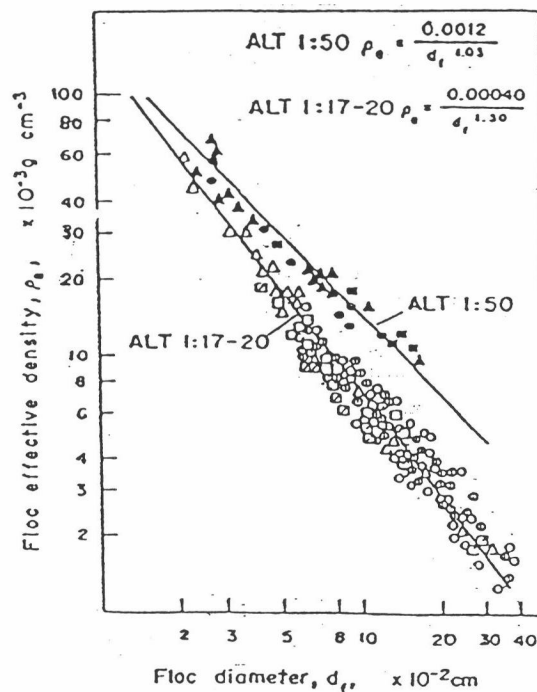
การวิเคราะห์ตัวอย่าง จะวัดความเร็วตกตะกอนในกระบอกทรงสูง ซึ่งติดอยู่ใต้ฟล็อกกูเลเตอร์ โดยการเลื่อนแผ่นกั้นระหว่างฟล็อกกูเลเตอร์กับกระบอกทรงสูง แล้ววัดความเร็วจมตัวและขนาดของฟล็อกโดยเครื่องถ่ายภาพที่วางอยู่ข้างอุปกรณ์

ผลการทดลองพบว่า

1. ความหนาแน่นประสิทธิผลของฟล็อกกับขนาดของฟล็อกมีลักษณะเป็นเส้นตรงในสเกลของกราฟฟล็อกการิทึม
2. เมื่ออัตราส่วนอะลูมิเนียมต่อความขุ่น (ALT ratio) ลดลง ความหนาแน่นประสิทธิผลของฟล็อก (ความหนาแน่นประสิทธิผลเท่ากับผลต่างของความหนาแน่นของฟล็อกกับความหนาแน่นของน้ำที่อุณหภูมิเดียวกันจะลดลง (เมื่อขนาดของฟล็อกคงที่) ตามรูปที่ 3.16 ซึ่งสามารถอธิบายได้ว่า สารอะลูมิเนียมทำให้รวม-เลกุลของน้ำแทรกในฟล็อก เป็นผลให้ความหนาแน่นของเม็ดฟล็อกลดลง
3. มีแนวโน้มว่าถ้าทำให้เกิดการรวมตัวโดยไม่มีรวมเลกุลของน้ำเข้าแทรกอาจจะทำให้ฟล็อกมีความหนาแน่นสูงได้



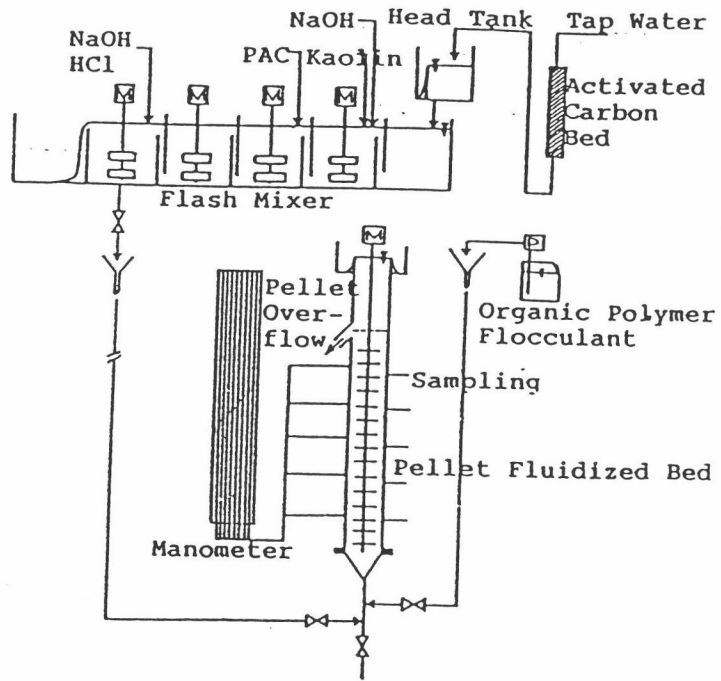
รูปที่ 3.15 อุปกรณ์ในการทดลองของ Tambo และ Watanabe (Tambo and Watanabe, 1978)



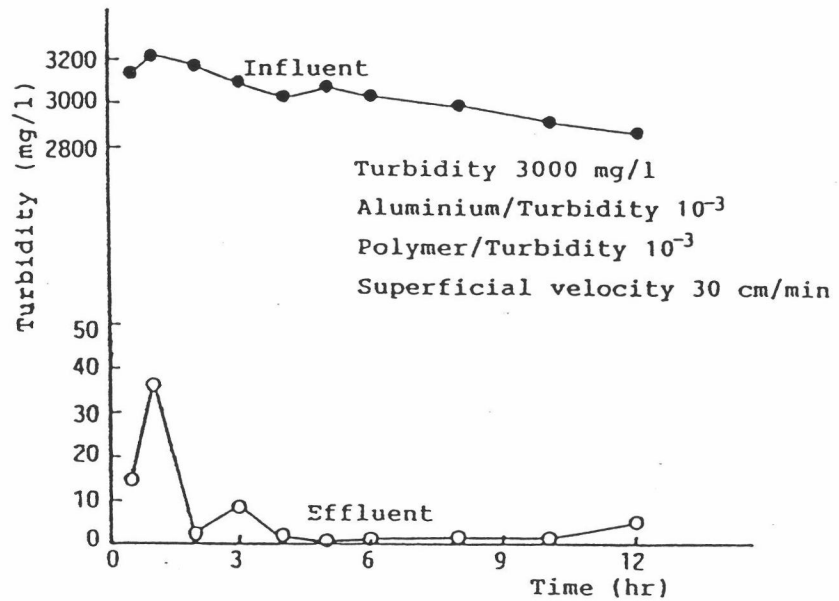
รูปที่ 3.16 ความสัมพันธ์ระหว่างความหนาแน่นประสิทธิผล และขนาดของเส้นผ่าศูนย์กลางของเม็ดผลึกที่อัตราส่วน ALT ต่างๆ (Tambo and Watanabe, 1978)

3.2.4 Tambo และ Matsui (1987) ได้ทำการทดลองโดยใช้อุปกรณ์ดังรูป 3.17 โดยเติมโลหะโคแอกกูแลนต์ เช่น เกลืออลูมิเนียมที่พีเอชเป็นกลาง เพื่อให้ผิวของอนุภาคดินเหนียวมีประจุเป็นกลางเพื่อที่จะมีโอกาสที่จะชนอนุภาคอื่นๆได้ ในขั้นตอนนี้เป็นการเตรียมอนุภาคเบื้องต้นในชุดอุปกรณ์กวนเร็ว (flash mixer) และจะเติมสารโพลีเมอร์อินทรีย์ที่มีประจุลบอย่างอ่อน (Accofloc A-100 PWG) เพื่อให้เกิดแรงยึดเหนี่ยวแก่จุลพล็อก โดยจุลพล็อกที่สัมผัสกับสารอินทรีย์โพลีเมอร์จะแสดงสมบัติเป็นอนุภาคเบื้องต้นด้วย จากนั้นอนุภาคเบื้องต้นจะไหลผ่านชั้นเพลลิตและทำการสัมผัสแบบหนึ่งต่อหนึ่งต่อไป ในขั้นแรกของอุปกรณ์สร้างเพลลิตจะทำการสร้างเพลลิตเทียมให้เป็นตัวนำก่อน โดยการทำให้อนุภาคเบื้องต้นเกิดการสัมผัสในกระบวนการพล็อกกูเลนชันที่ใช้กันอยู่โดยทั่วไปคือ อนุภาคแขวนลอยจะสัมผัสกันโดยมีโพลีเมอร์เป็นตัวเชื่อม เมื่อเริ่มเดินเครื่องจะใช้อัตราการไหลของน้ำดิบในอัตราที่ต่ำทำให้ไหลผ่านชั้นเพลลิต และเพิ่มอัตราไหลเร็วขึ้นถึง 30 ซม.ต่อนาที ภายในเวลา 30 นาที และรักษาความเร็วให้อยู่ในอัตราคงที่ต่อไป โดยทั่วไปการสัมผัสของอนุภาคเบื้องต้นจำเป็นต้องใช้การกวนด้วยแรงและขนาดของใบพัดที่เหมาะสม เพื่อหยุดยั้งการโคจรของกลุ่มพล็อกที่ผิดแปลกไปจากเม็ดเพลลิต ทำให้เม็ดเพลลิตแข็งแรงมีลักษณะเป็นรูปกลม ซึ่งสามารถจะรีดน้ำออกจากสลัดจ์โดยง่ายและรวดเร็ว วิธีการทดลองข้างต้นจะทำการทดลองหลายครั้งโดยใช้อลูมิเนียมและโพลีเมอร์ในปริมาณต่างๆรวมทั้งความเข้มข้นของน้ำดิบ อัตราการกวนรูปร่างและระยะห่างของใบกวน โดยมีการวัดตัวแปรของผลการทดลองคือความเข้มข้นของความขุ่นของน้ำเข้าระบบและออกจากระบบ การแปรเปลี่ยนผลต่างความดันตลอดความยาวอุปกรณ์สร้างเพลลิต ลักษณะกายภาพของเพลลิต เช่น เส้นผ่าศูนย์กลางเม็ดเพลลิตและความหนาแน่นของเม็ดเพลลิตโดยค่าทั้งสองจะเป็นตัวควบคุมความเร็วในการตกตะกอน

จากผลการทดลองตามรูปที่ 3.18 สามารถพัฒนากระบวนการกำจัดความขุ่นที่ความขุ่นสูงโดยใช้เวลาเร็วของน้ำไหลขึ้นในอุปกรณ์สร้างเพลลิตได้ถึง 30 ซม.ต่อนาที ใช้เวลากักน้ำเพียง 5 นาที



รูปที่ 3.17 แบบจำลองที่ใช้ในการทดลองของ Tambo และ Matsui (Tambo and Matsui, 1987)



รูปที่ 3.18 การเปรียบเทียบความขุ่นน้ำก่อนเข้าระบบและหลังผ่านระบบในช่วงเวลาต่างๆ (Tambo and Matsui, 1987)



ในรูปที่ 3.19 การศึกษาความดันลดตลอดความสูงของชั้นเพลล็ดตลอดระยะเวลา 12 ชั่วโมง พบว่า ในการสร้างเม็ดเพลล็ดที่อยู่ในภาวะคงตัวใช้เวลาเดินเครื่องประมาณ 6 ชั่วโมง โดยความดันลดสูงสุดวัดได้ 15 ซม. นี้เป็นภาวะที่เปลี่ยนแปลง (transition) จากสภาวะไม่คงตัวสู่ภาวะคงตัว

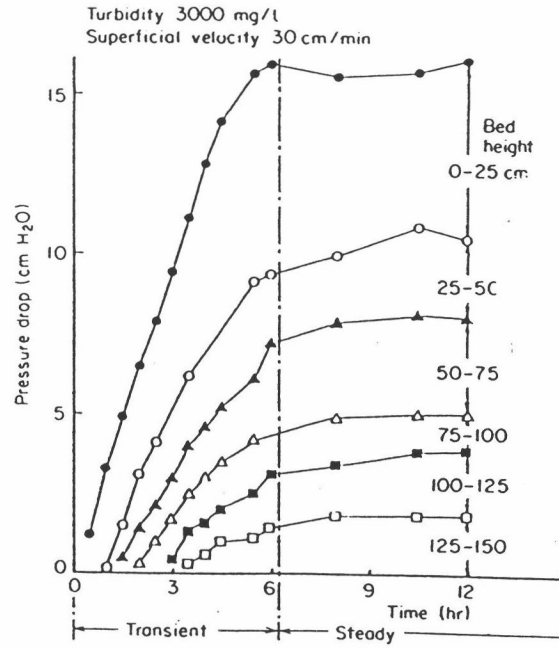
ในการวัดเส้นผ่าศูนย์กลางของเม็ดพล็อกที่ช่วงเวลาต่างๆตามรูป 3.20 ในช่วงเวลาต่างๆโดยวัดตามความสูงของเพลล็ด พบว่าจะไม่มีการเปลี่ยนแปลงขนาดเพลล็ดที่เวลา 6 ชั่วโมง แสดงว่าเกิดดุลระหว่างการเกิดเม็ดพล็อกและการแยกตัว

รูปที่ 3.21 แสดงความสัมพันธ์ระหว่างเส้นผ่าศูนย์กลางและความหนาแน่นของเม็ดพล็อกประสิทธิภาพ พบว่าความหนาแน่นของเม็ดพล็อกเกือบจะคงที่ในช่วงการกระจายของเส้นผ่าศูนย์กลางต่างๆ เมื่อเทียบกับพล็อกที่เกิดแบบสุ่มชี้ให้เห็นว่า ความหนาแน่นที่เกิดจากกลุ่มพล็อกมีค่าต่ำกว่าความหนาแน่นของเม็ดเพลล็ด

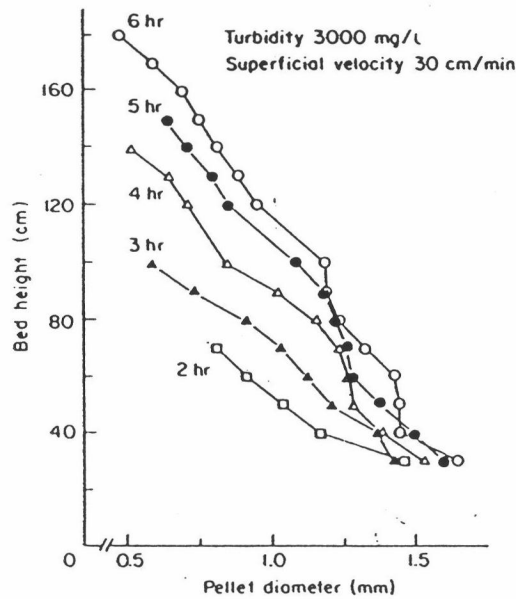
ซึ่งจากผลการทดลองที่ผ่านมาสามารถนำไปใช้ เป็นข้อมูลในการศึกษาได้ ดังนี้

1. ความหนาแน่นของเพลล็ดจะขึ้นอยู่กับอัตราการกววน และระยะห่าง (pitch) ของใบกววน ถ้าอัตราการกววนสูงจะสร้างเพลล็ดขนาดเล็กกว่า ทำให้ความหนาแน่นเพลล็ดสูงตาม และถ้าใช้ใบพัดที่มีขนาดใหญ่ในการกววนด้วยพลังงานที่เท่ากันจะสร้างเพลล็ดที่มีขนาดเล็กกว่า เพราะมีการกระจายของแรงที่ไม่สม่ำเสมอ ทำให้เกิดการแตกแยกของเพลล็ด

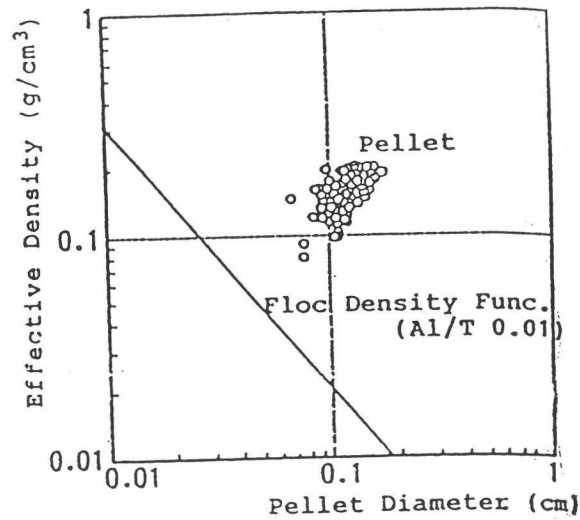
2. ในการบำบัดน้ำดิบที่มีความขุ่นต่ำ เช่นที่ เอสเอส 200 มก./ล. จะต้องเติมโพสิเมอร์เพิ่มขึ้นตามอัตราส่วนความเข้มข้นน้ำดิบที่น้อยลง โดยสรุปที่ความเข้มข้นเอสเอส 3,000 มก./ล. จะใช้อัตราส่วนโพสิเมอร์ต่อความเข้มข้นความขุ่นประมาณ  $10^{-3}$  แต่ถ้าความขุ่นมีความเข้มข้นเอสเอส 200 มก./ล. อัตราส่วนจะเพิ่มขึ้นเป็น  $10^{-2}$  ซึ่งอัตราส่วนนี้ใช้รวมอัตราส่วนเดียวกับอัตราส่วนความขุ่นกับปริมาณอลูมิเนียม



รูปที่ 3.19 การเปลี่ยนแปลงความดันตกในช่วงเวลาต่างๆ (Tambo and Matsui, 1987)

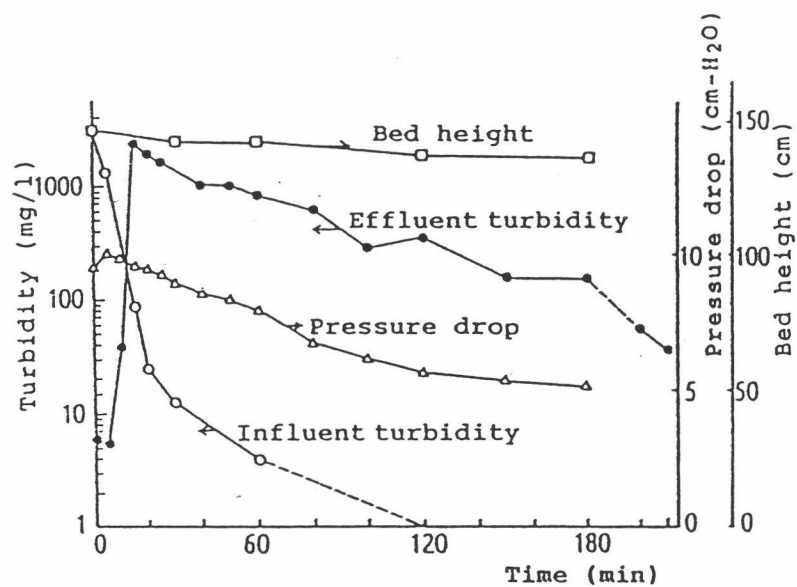


รูปที่ 3.20 การเปลี่ยนแปลงขนาดของเส้นผ่านศูนย์กลางของเพลเล็ต ที่ความสูงของเพลเล็ตต่างๆ (Tambo and Matsui, 1987)



รูปที่ 3.21 ความสัมพันธ์ระหว่างความหนาแน่นประสิทธิผลและขนาดของเส้นผ่าศูนย์กลางของเพลเล็ต (Tambo and Matsui, 1987)

การทดลองโดยไม่มีอิทธิพลจากความขุ่นน้ำดิบ ตามรูปที่ 3.22 พบว่าเพลเล็ตเกิดการแยกตัวเป็น 2 ส่วน โดยเพลเล็ตใหญ่จะจับอนุภาคเบื้องต้นต่อไป และเกิดจากแยกตัวในส่วนเกินของอนุภาคซึ่งมีผลทำให้เกิดความขุ่นด้านน้ำออก



รูปที่ 3.22 ลักษณะของชั้นเพลเล็ตเมื่อไม่มีอิทธิพลจากความขุ่นของน้ำดิบเทียบกับเวลา (Tambo and Matsui, 1987)

สรุปการศึกษาพบว่า การแยกอนุภาคความขุ่นออกจากน้ำโดยใช้ชั้นเพลล็ดสามารถทำได้โดยใช้เวลาก็น้ำเพียงไม่กี่นาทีและกำจัดสัจที่ออกมาได้ง่ายกว่าระบบแบบเดิม

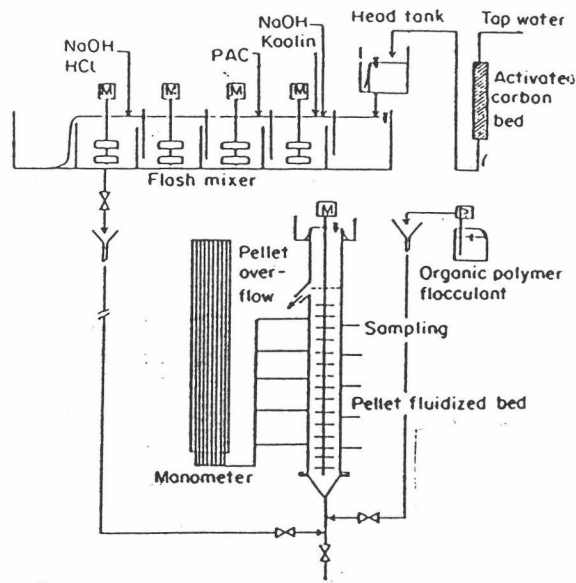
3.2.5 Tambo and Matsui (1989) ได้ทำการศึกษาระบวนการแยกสารแขวนลอยออกจากน้ำดิบแบบใหม่ โดยใช้กระบวนการฟลูอิดไดซ์เบด โดยมีอุปกรณ์ดังแสดงในรูป 3.23

วิธีการทดลองได้ทำการทดลองเป็น 2 กรณี คือ

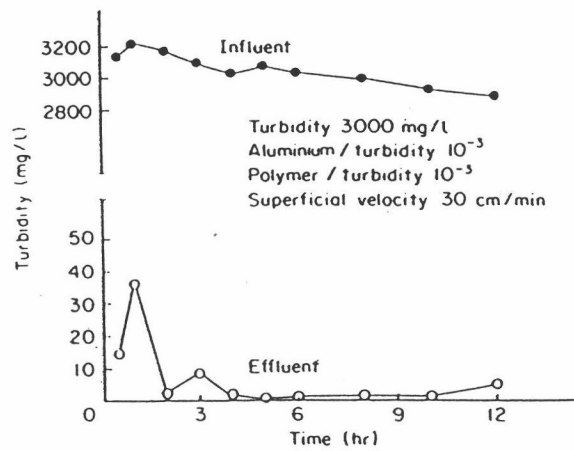
กรณีแรกใช้น้ำดิบจากแม่น้ำเหลือง ซึ่งมีความเข้มข้นของสารแขวนลอยประมาณ 3000 มก./ล. และกรณีที่สองใช้น้ำดิบจากประเทศทางเอเชียตะวันออกเฉียงใต้ เช่น อินเดี ย ซึ่งมีความเข้มข้นของสารแขวนลอยประมาณ 250 มก./ล.

#### ผลการทดลอง

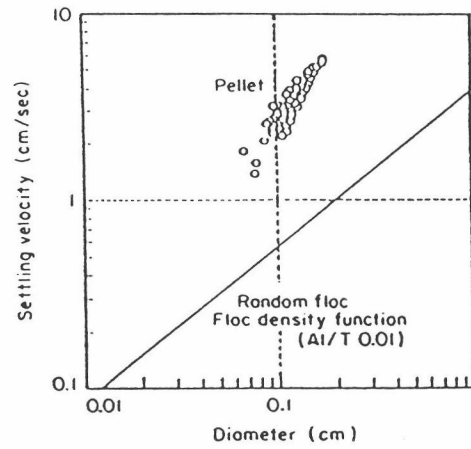
กรณีแรก เมื่อใช้ความเข้มข้นของสารแขวนลอยประมาณ 3,000 มก./ล. พบว่า เมื่อใช้อัตราส่วนระหว่างอลูมิเนียมต่อความขุ่น (Al/T ratio) ประมาณ  $10^{-3}$  และอัตราส่วนโพสิเมอร์ต่อความขุ่น (P/T ratio) ประมาณ  $10^{-3}$  และใช้ความเร็วไหลขึ้น 30 ซม./นาที น้ำผลิตที่ได้จะมีความเข้มข้นของสารแขวนลอยต่ำมาก (ดังรูป 3.24) นอกจากนั้นความเร็วการจมตัวและความหนาแน่นของเพลล็ดจะมีค่าสูงกว่าของฟล็อกที่เกิดขึ้นจากกระบวนการโคแอกกูเลชัน และฟล็อกกูเลชันแบบเก่า (ดังรูป 3.25, 3.26) และเพลล็ดที่เกิดขึ้นจะมีขนาดใหญ่ กลม และแน่นดังแสดงในรูป 3.27



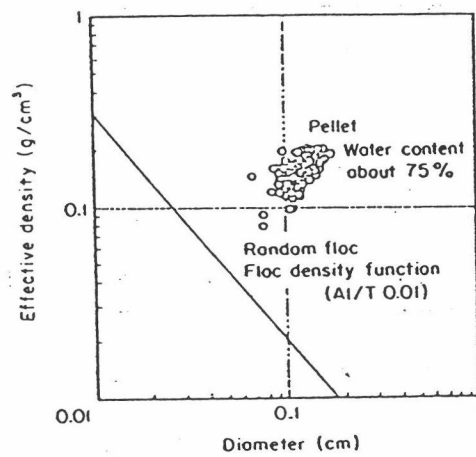
รูปที่ 3.23 อุปกรณ์ที่ใช้ในการทดลองกระบวนการแยกโดยใช้  
ฟลูอิดไดซ์เบด (Tambo and Matsui, 1989)



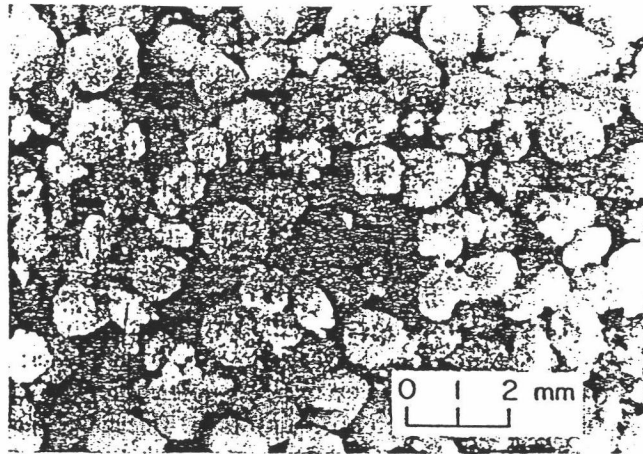
รูปที่ 3.24 ความเข้มข้นของของแข็งแขวนลอยที่เวลาใดๆ (น้ำดิบ  
มีความเข้มข้นของของแข็งแขวนลอยประมาณ 3,000  
มก./ล. (Tambo and Matsui, 1989)



รูปที่ 3.25 ความเร็วจมตัวของเพลเล็ตและฟล็อก  
(Tambo and Matsui, 1989)



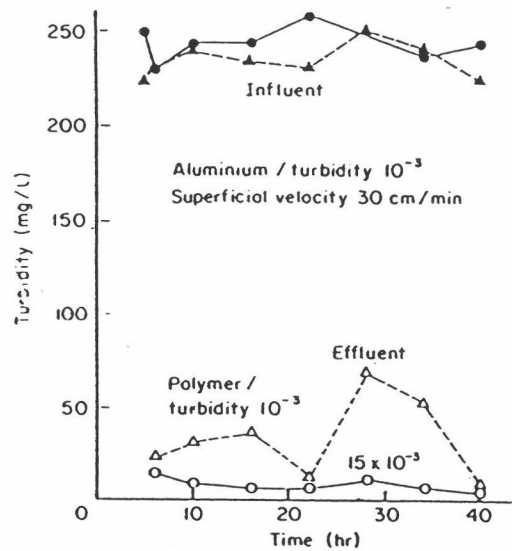
รูปที่ 3.26 ความหนาแน่นของเพลเล็ตและฟล็อก  
(N. Tambo and Y. Matsui, 1989)



รูปที่ 3.27 ลักษณะและขนาดของเพลเล็ต

(Tambo and Matsui, 1989)

กรณีที่สอง เมื่อใช้ความเข้มข้นของสารแขวนลอยประมาณ 250 มก./ล. พบว่า ใช้อัตราส่วนระหว่างอลูมิเนียมต่อความชุ่ม  $10^{-3}$  และอัตราส่วนโพสเฟอไรต์ต่อความชุ่มประมาณ  $15 \times 10^{-3}$  และใช้ความเร็วไหลขึ้น 30 ซม./นาที น้ำผลิตที่ได้จะมีความเข้มข้นของสารแขวนลอยต่ำและคงที่ (ดังรูป 3.28) แต่เมื่อใช้อัตราส่วนของโพสเฟอไรต์ต่อความชุ่ม  $10^{-3}$  จะทำให้น้ำผลิตที่ได้มีความเข้มข้นของสารแขวนลอยไม่คงที่ (ดังรูป 3.28) และทำให้การกระจายขนาดของเพลเล็ตไม่ดี ทำให้คุณภาพน้ำผลิตที่ได้ต่ำลง



รูปที่ 3.28 ความเข้มข้นของแข็งแขวนลอยที่เวลาใดๆ (น้ำดิบมีความเข้มข้นของของแข็งแขวนลอยประมาณ 250 มก./ล.)  
(Tambo and Matsui, 1989)

จากผลการศึกษาพบว่า จุดที่ใส่โพลีเมอร์แอนไอออนจะมีผลต่อประสิทธิภาพการกำจัดความขุ่นและความหนาแน่นของเพลเล็ต (ดังแสดงในตารางที่ 3.2) จากตารางดังกล่าว สามารถสรุปได้ว่าประสิทธิภาพการกำจัดความขุ่นจะสูงสุดและความหนาแน่นของเพลเล็ตจะมากที่สุดเมื่อใส่โพลีเมอร์ที่ด้านล่างของฟลูอิด-ไดซ์เบด



ตาราง 3.2 ผลของจุดใส่โพสซีเมอร์แอนไอออน (Tambo and Matsoi, 1989)

จุดเติมโพสซีเมอร์	ความขุ่นน้ำผลิต (เอ็นทียู)	ความหนาแน่นประสิทธิผล ของเพลเล็ต (ก./ซม. <sup>3</sup> )
- ด้านล่างของฟลูอิดไคซ์เบด	<10	0.15
- ด้านล่างของถังกวนเร็ว	25	0.11
- ในถังกวนเร็ว	25	0.08
- ในถังกวนเร็วพร้อม โคแอกกูแลนต์	ไม่เกิดเพลเล็ต	

จากผลการทดลองที่ได้ สามารถสรุปได้ว่าระบบที่ทำการทดลองนี้สามารถแยกสารแขวนลอยออกจากน้ำดิบได้อย่างมีประสิทธิภาพ โดยไม่จำเป็นต้องมีถังตกตะกอนชั้นต้น แม้ว่าน้ำดิบจะมีความขุ่นสูง เช่น น้ำดิบจากแม่น้ำเหลือง

กระบวนการแยกสารแขวนลอยระบบใหม่นี้จะใช้เวลากักน้ำแค่ 3 - 5 นาที ในการแยกสารแขวนลอยที่มีความเข้มข้น  $10^2-10^3$  มก./ล. น้ำผลิตที่ได้จะเหลือสารแขวนลอยแค่ 2-3 มก./ล. เท่านั้น สารโคแอกกูแลนต์ที่ใช้คืออลูมิเนียมโคแอกกูแลนต์ และสารโคแอกกูแลนต์เอคที่ใช้คือโพสซีเมอร์แอนไอออน โดยใช้อัตราส่วนระหว่างอลูมิเนียมต่อความขุ่นเท่ากับ  $10^{-3}$  อัตราส่วนโพสซีเมอร์ต่อความขุ่นประมาณ  $10^{-3}$  สำหรับความขุ่น  $10^3$  มก./ล. และ  $10^{-2}$  สำหรับความขุ่น  $10^2$  มก./ล. เพลเล็ตที่เกิดขึ้นจะมีความแน่นสูงกว่าพล็อกจากกระบวนการโคแอกกูแลชันแบบธรรมดามาก และเพลเล็ตที่ได้จะมีความสามารถในการรีดน้ำออกได้สูงกว่าพล็อกธรรมดาด้วย

3.2.6 Benschoten และ Edzwald (1990) ได้ทำการศึกษากระบวนการโคแอกกูเลชันโดยสารส้มและโพสโวลูมินัมคลอไรด์เป็นโคแอกกูแลนต์ แล้วเปรียบเทียบผลที่ได้หลังจากการเกิดปฏิกิริยาไฮโดรไลซิสของโคแอกกูแลนต์ทั้งสอง การทดลองทั้งหมดใช้วิธีจาร์เรสต์ ซึ่งมีวิธีการทำโดยใส่ตัวอย่างน้ำซึ่งมีอุณหภูมิประมาณ 25 องศาเซลเซียส และปรับค่าพีเอชประมาณ 4 โดยใส่กรดไฮโดรคลอริกเข้มข้น 0.1 นอร์มัล (0.1 N HCl) ลงไปในบีกเกอร์ขนาด 250 มล. จากนั้นจึงเติมโคแอกกูแลนต์ให้มีค่าความเข้มข้นของอลูมิเนียมเท่ากับ 13.5 มก./ล. แล้วจึงปรับค่าพีเอชของน้ำด้วยโซเดียมไบคาร์บอเนตเข้มข้น 0.1 นอร์มัล (0.1 N NaHCO<sub>3</sub>) และ/หรือโซเดียมไฮดรอกไซด์ (NaOH) จนได้ค่าพีเอชที่ต้องการ แล้วนำไปเข้าเครื่องกวนด้วยความเร็ว 100 รอบต่อนาที ทำเช่นนี้ที่ละบีกเกอร์จนครบทั้ง 6 บีกเกอร์ โดยแต่ละบีกเกอร์จะมีพีเอชต่างกัน เมื่อครบแล้วจึงปรับความเร็วรอบให้เหลือ 20 รอบต่อนาทีแล้ว ทำการกวนน้ำพร้อมกันทั้ง 6 บีกเกอร์ เป็นเวลา 30 นาที แล้วตั้งทิ้งไว้ให้ตกตะกอนอีก 1 ชั่วโมง หลังจากนั้นจึงนำน้ำใสที่ได้มาวิเคราะห์ค่าพีเอช , อุณหภูมิ , ปริมาณอลูมิเนียมที่ละลายน้ำ ความขุ่นตกค้าง และ electrophoretic mobility (EPM) จากนั้นจึงทำการทดลองเหมือนข้างต้นทั้งหมดอีก แต่คราวนี้ทำการทดลองที่อุณหภูมิของน้ำเท่ากับ 4 องศาเซลเซียสโดยใช้อ่างควบคุมอุณหภูมิ

ผลการทดลองสรุปได้ว่าจากปฏิกิริยาไฮโดรไลซิสของอลูมิเนียมในน้ำ เนื่องจากสารส้มพบว่า อลูมิเนียมจะแสดงรูปแบบของโม่โนเมอร์เกือบทั้งหมด ส่วนอลูมิเนียมจากปฏิกิริยาไฮโดรไลซิสของโพสโวลูมินัมคลอไรด์จะแสดงในรูปแบบของโพลีเมอร์ถึง 90%

ต่อมาเขาได้ทำการทดลองเพื่อตรวจสอบความแตกต่างของสารส้มและโพสโวลูมินัมคลอไรด์เมื่ออยู่ในสภาวะของแข็ง โดยทำให้เกิดการตกตะกอนด้วยการไทเทรตสารละลายโคแอกกูแลนต์ทั้งสองตัวด้วยโซเดียมไฮดรอกไซด์ (NaOH) จนมีพีเอช 7.5 จากนั้นจึงละลายสลัดจ์ที่เกิดขึ้นด้วยกรดจนมีพีเอชเท่ากับ 4 แล้วทำการตรวจสอบผลทันที พบว่ารูปแบบของอลูมิเนียมที่เกิดจากการละลายสลัดจ์

ของสารส้มยังคงเป็นโมโนเมอร์ แสดงว่าสไลด์จ์ที่เกิดจากสารส้มคืออะลูมิเนียมไฮดรอกไซด์ ส่วนโพลีอลูมิเนียมคลอไรด์แสดงรูปแบบของโพลีเมอร์ประมาณ 90% เหมือนก่อนเมื่อทำให้ตกตะกอน ซึ่งให้เห็นว่าตะกอนโพลีอลูมิเนียมคลอไรด์ยังคงรักษาสภาพโพลีเมอร์ของอลูมิเนียมไว้ได้ และยังสามารถได้ว่าสไลด์จ์ของสารส้มมีขนาดใหญ่ (25-100 ไมโครเมตร) กว่าสไลด์จ์ของโพลีอลูมิเนียมคลอไรด์ มีลักษณะเป็นบู่เกาะกันไม่แน่น ส่วนฟล็อกของโพลีอลูมิเนียมคลอไรด์ที่เกิดขึ้นมีขนาดเล็ก (25 ไมโครเมตร) มีลักษณะกลมเกาะติดกันเป็นกลุ่ม ที่พีเอชมากกว่า 9 ขึ้นไป สไลด์จ์ของโพลีอลูมิเนียมคลอไรด์ที่ได้จึงจะเหมือนกับสไลด์จ์ที่เกิดจากสารส้ม นอกจากนี้ยังพบว่าอุณหภูมิมิผลกระทบต่อปฏิกิริยาไฮโดรไลซิสของสารส้มมาก เพราะทำให้ไฮดรอกซิลไอออนน้ำเปลี่ยนแปลง แต่จะมีผลกระทบต่อปฏิกิริยาไฮโดรไลซิสของโพลีอลูมิเนียมคลอไรด์น้อยมาก

ต่อมาทำการทดลองเพื่อแยกกรดฟัลวิกหรือ FA (fulvic acid) ซึ่งอยู่ในรูปสารละลายออกจากน้ำโดยวิธีการตกตะกอน และใช้สารส้มกับโพลีอลูมิเนียมคลอไรด์เป็นโคแอกกูแลนต์ ดำเนินการทดลองเป็น 3 แบบด้วยกัน คือ

1. การทดลองจาร์เทสต์ขนาดเล็ก โดยใช้น้ำซึ่งมี FA อยู่ 2,5 และ 10 มก. ดีไอซี/ล. ปริมาณ 200 มล. ที่อุณหภูมิห้อง ( $22.5 \pm 2.5$  องศาเซลเซียส) ดำเนินการทดลองโดยใช้วิธีจาร์เทสต์เหมือนกับตอนแรกทุกประการ แล้วนำน้ำใสที่ได้มาวัดค่าพีเอช, อุณหภูมิ, การดูดกลืนแสงยูวี (ที่ 254 นาโนเมตร), ปริมาณอลูมิเนียมที่ละลายน้ำ, ความขุ่นตกค้าง และ ERM ผลการทดลองพบว่าสารส้มสามารถกำจัด FA ออกจากน้ำได้ดีกว่าโพลีอลูมิเนียมคลอไรด์เล็กน้อย และที่พีเอช 7 โคแอกกูแลนต์ทั้งสองตัวจะสามารถแยก FA ออกจากน้ำได้ดีกว่าที่พีเอช 5 ประมาณ 8-11% แต่จะใช้ปริมาณมากกว่าถึง 2 เท่า และเพื่อใช้ในปริมาณที่เหมาะสมรวมทั้งหากต้องการประสิทธิภาพในการกำจัด FA ตั้งแต่ 80% ขึ้นไป จะต้องปรับค่าพีเอชให้อยู่ในช่วง 5.5-7 เหมือนกัน

2. การทำจาร์เทสต์ขนาดใหญ่ ทำการทดลองจาร์เทสต์โดยใช้ถังฟล็อกกูแลนต์ชนิด 2 ลิตร โดยกำหนดตัวแปรอิสระสำหรับการทดลองนี้

คือ ชนิดของโคแอกกูแลนต์ (สารส้ม และโพสเฟอรัส) , พีเอช (5.5 และ 7) , ดีไอซี (2 และ 10 มก./ล.) และอุณหภูมิ (4 และ  $22 \pm 1$  องศาเซลเซียส) ผลการทดลองพบว่า ทั้งสารส้มและโพสเฟอรัสกำจัด FA ในน้ำ (โดยการวัดค่าดีไอซี) ที่พีเอช 7 ได้ดีกว่าที่พีเอช 5.5 และพบว่าโพสเฟอรัสกำจัดความขุ่นได้ดีกว่าสารส้มทั้งที่พีเอช 7 และที่พีเอช 5 ส่วนที่อุณหภูมิ 4 องศาเซลเซียส จะพบว่าความขุ่นตกค้างมีค่าสูง แต่ผลก็ยังคงตกตะกอนได้ดี ทั้งนี้อาจเป็นเพราะเกิดการหมุนเวียนของมวลน้ำเนื่องจากอุณหภูมิ

3. การศึกษาแบบซ้ำซ้อน ทำการทดลองโดยใช้ 200 มล. ของ FA ที่ความเข้มข้น 2 มก./ล. ปรับค่าพีเอชให้ได้ 5 หรือ 7 แล้วเติมสารส้มหรือโพสเฟอรัสให้มีความเข้มข้น 0.2, 0.5 หรือ 1.0 มก. อลูมิเนียม/มก. ของ FA หลังจากเติมสารโคแอกกูแลนต์แล้วจึงปรับค่าพีเอชให้ได้ตามต้องการ จากนั้นจึงทำการกรองสารละลายทันทีด้วยตะแกรงขนาด 0.22 ไมโครเมตร แล้วทำการวิเคราะห์ Al speciation, พีเอช, การดูดกลืนแสงยูวี ผลการทดลองพบว่า แนวโน้มของการเกิด Al complexation เนื่องจากโพสเฟอรัสและสารส้มเหมือนกันที่พีเอชเดียวกัน ที่พีเอช 5 พบว่ามี Al complexation เพิ่มขึ้นเมื่อความเข้มข้นของโคแอกกูแลนต์เพิ่มขึ้น ส่วนที่พีเอช 7 พบว่าจะเกิด Al complexation น้อยลงเมื่อความเข้มข้นของโคแอกกูแลนต์เพิ่มขึ้น

จากผลการทดลองข้างต้น เห็นได้ว่าโพสเฟอรัสมีความแตกต่างจากสารส้ม กล่าวคือ เมื่อมีการตกตะกอนน้ำโพสเฟอรัสแสดงรูปแบบส่วนใหญ่อยู่น้ำรูปของโพสเฟอรัส ส่วนสารส้มจะแสดงรูปแบบของโมโนเมอร์ และยังคงอยู่รูปสถานะของแข็งที่แตกต่างกัน จึงน่าจะให้ผลการเกิดโคแอกกูแลนต์ที่ต่างกันอย่าง

3.2.7 Tambo and Wang (1992) ได้ทำการศึกษาเรื่อง Treatment of highly turbid and colored water by fluidised pellet bed separation โดยใช้โพลีเมอร์ไรโซลูมินัมคลอไรด์เป็นโคแอกกูแลนต์และใช้โพลีเมอร์นอนไอออนเป็นโคแอกกูแลนต์เอค

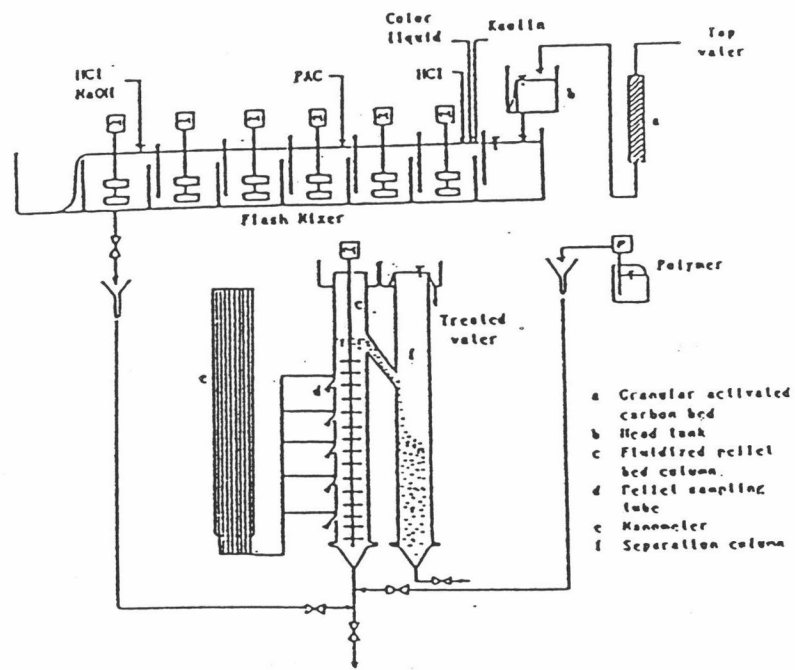
#### วิธีการทดลอง

1. ใช้น้ำสังเคราะห์ด้วยสีที่ได้จากน้ำในกระบวนการผลิตกระดาษซึ่งมีสีค่า ปริมาณสีหลายความเข้มข้น (100, 200, 500, 1000, 1500 และ 2000 หน่วยสี) และความขุ่นสังเคราะห์ที่มีความเข้มข้นเอสเอส 1000, 300, 100 มก./ล.
2. ทาจารย์ทดสอบเพื่อหาค่าพีเอชที่เหมาะสมที่เหมาะสมของการทำโคแอกกูแลชันที่ได้ผล
3. เมื่อมีการสังเคราะห์น้ำให้มีความขุ่นและสีที่ต้องการแล้ว ทำการปรับพีเอชให้ได้ตามต้องการโดยใช้กรดไฮโดรคลอริก จากนั้นน้ำจะถูกผ่านเข้าสู่อุปกรณ์กวนเร็วเพื่อทำลายเสถียรภาพด้วยโพลีลูมินัมคลอไรด์ จากนั้นจึงผ่านน้ำเข้าสู่อุปกรณ์สร้างเพลลิตทางด้านล่าง โดยเติมโพลีเมอร์นอนไอออนเพื่อทำให้ทำหน้าที่เป็นโคแอกกูแลนต์เอค ความเร็วของน้ำไหลขึ้น 30 ซม./นาที ภายในอุปกรณ์ให้พลังงานด้วยการกวนใบพัดที่ความเร็ว 36 รอบต่อนาที และที่ระดับ 145 ซม. มีท่อน้ำสั้นเพื่อให้น้ำและเพลลิตที่ไหลขึ้นมาถึงระดับนี้ไหลลงสู่อุปกรณ์สำหรับแยกน้ำและเพลลิต โดยเพลลิตจะตกลงสู่ด้านล่างและน้ำผลิตจะไหลออกทางด้านบน (รูปที่ 3.29)

#### ผลการทดลอง

1. การกำจัดสีและความขุ่นที่ความเร็วน้ำไหลขึ้น 30 ซม./นาทีได้ผลดีเมื่ออัตราส่วนระหว่างสีและความขุ่นมีค่าน้อยกว่า 1 หรือเท่ากับ 1

content measurement.



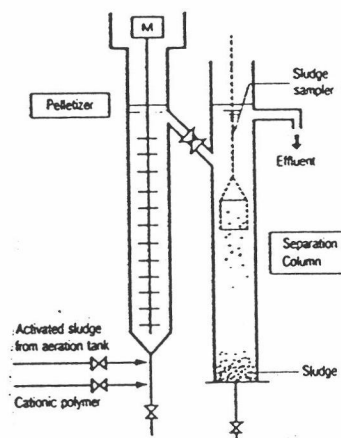
Flow Chart of the Fluidized Pellet Bed Separation System

รูปที่ 3.29 อุปกรณ์ในการทดลองของ Tambo และ Wang (Tambo and Wang, 1992)

2. อนุภาคที่ละลายได้ถูกกำจัดได้ดีมากกว่า 90% และกำจัดความขุ่นได้ 100% (กรณีที่ถูกกำจัดได้ 100% ความขุ่นต้องมีค่าสูงกว่าสี่มาก ๆ)
3. ความหนาแน่นประสิทธิผลของเพลเล็ตมีค่าประมาณ 0.02-0.1 ก./ลบ.ซม. และมีความชื้นน้อยกว่า 90% ในการกำจัดสลัดจ์ก็ใช้วิธีการกรองแยกโดยไม่ต้องใช้วิธีทำชั้นเลย
4. ที่พีเอช 5 พบว่าสามารถกำจัดดีและความขุ่นได้ดีที่สุด

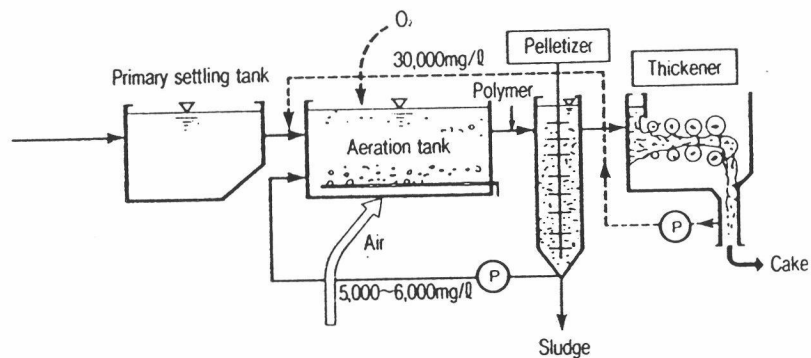
3.2.8 Tambo, Ozawa, Kihara และ Obba (1993) ได้ทำการทดลองนำกระบวนการผลิตโคซ์เพลเล็ตแบบมาทำหน้าที่แทนถังตกตะกอนสุดท้าย เพื่อเพิ่มประสิทธิภาพของระบบแอกทิเวเต็ดสลัดจ์ (ดังแสดงในรูป 3.30)

ผลการทดลองพบว่า สลัดจ์ที่ได้จากกระบวนการนี้จะมีความเข้มข้นสูงเป็น 2 เท่าของระบบแอกทิเวเต็ดสลัดจ์แบบธรรมดา ทำให้สามารถใช้อัตราไหลสูงในอุปกรณ์สร้างเพลเล็ต



รูปที่ 3.30 การใช้กระบวนการผลิตโคซ์เพลเล็ตแบบถังตกตะกอนสุดท้ายในระบบแอกทิเวเต็ดสลัดจ์ (Tambo, Ozawa, Kihara และ Obba, 1993)

จากการนำกระบวนการแยกแบบฟลูอิดไดซ์เพลสส์ตเบตมาใช้เป็นส่วนประกอบของระบบแยกที่เวเต็คสลัดจ์ที่มีอยู่ (ดังรูป 3.31) พบว่า สลัดจ์ที่ผ่านการเอาน้ำออกแล้วสามารถนำกลับมาใช้ที่ถังเติมอากาศ ความเข้มข้นที่สูงของสลัดจ์ที่ผ่านการเอาน้ำออกแล้วสามารถเพิ่มเอ็มแอลเอสเอสจนถึงเติมอากาศในระดับที่สูงมาก เมื่อหมุนเวียนสลัดจ์กลับเข้าไป



รูปที่ 3.31 ระบบแยกที่เวเต็คสลัดจ์ที่ปรับปรุงใหม่ (Tambo, Ozawa, kihara และ Ohba, 1993)

3.2.9 Suzuki, Tambo และ Ozawa (1993) ทำการทดลองศึกษา ระบบบำบัดน้ำเสียแบบใหม่ ซึ่งประกอบด้วยเครื่องแยกฟลูอิดไดซ์เพลสส์ตเบต เครื่องกรองชีวะแบบแอโรบิก และเครื่องกรองไมโครเมมเบรน (ดังแสดงในรูป 3.32) ในระบบนี้ ชั้นแรกอินทรีย์วัตถุที่หนักโมเลกุลสูง และสารแขวนลอยจะถูกกำจัดโดยกระบวนการโคแอกกูเลชันและฟล็อกกูเลชันด้วยสารเคมี สำหรับการทดลองนี้ เครื่องแยกฟลูอิดไดซ์เพลสส์ตเบตใช้ความเร็วในการไหลขึ้น 200-306 เมตร/วัน ส่วนใหญ่ของอินทรีย์วัตถุถูกกำจัดโดยกระบวนการโคแอกกูเลชันและฟล็อกกูเลชันแบบใหม่ เพราะเหตุนี้ปีโอดีที่เข้าในกระบวนการบำบัดทางชีวะขั้นต่อไปจะต่ำมาก และจะมีเพียงอินทรีย์วัตถุที่น้ำหนักโมเลกุลต่ำเท่านั้นซึ่งจะย่อยสลายทางชีวะได้ง่าย ทำให้เราสามารถนำการบำบัดทางชีวะอย่างง่าย ๆ เช่น เครื่อง



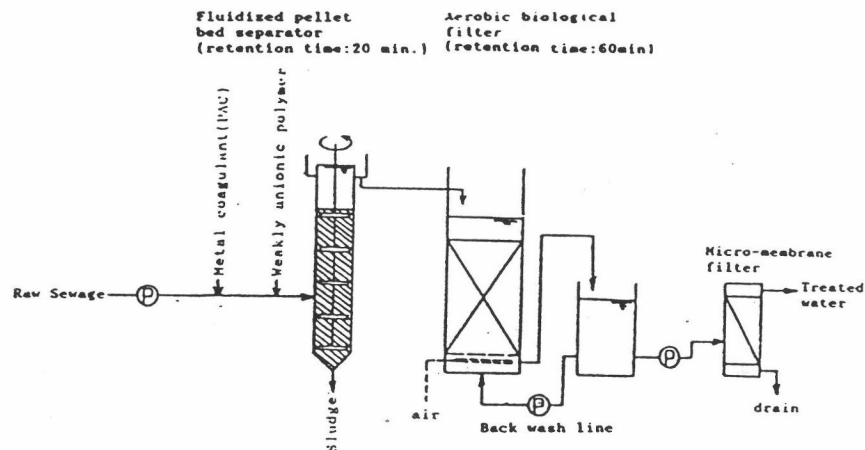
กรองชีวะแบบแอโรบิก ซึ่งใช้เวลากักสั้นเพียง 1 ชั่วโมงได้ ในขั้นสุดท้าย น้ำที่ออกจากเครื่องกรองชีวะจะถูกบำบัดโดยเครื่องกรองไมโครเมมเบรน ทำให้สารแขวนลอยถูกกำจัดไปอย่างสมบูรณ์ ความเข้มข้นของฟอสเฟตในน้ำที่ผ่านการบำบัดจะต่ำมาก ซึ่งเป็นผลสืบเนื่องมาจากระบวนการโคแอกกูเลชันขั้นแรก และการนำสารอาหารไปใช้ในกระบวนการทางชีวะในขั้นที่สอง และการแยกของเหลวและของแข็งโดยสมบูรณ์ในขั้นที่สาม

#### ผลการทดลองพบว่า

ใช้โพลีลูมินัมคลอไรด์ประมาณ 10-15 มก.  $Al_2O_3$ /ล. และโพลีเมอร์แอนไอออนประมาณ 1-2 มก./ล. ใช้เวลากักเพียง 1.5 ชม. สามารถกำจัดฟอสเฟต และบีโอดีได้อย่างมีประสิทธิภาพ

1) ในเครื่องแยกฟลูอิดไดซ์เฟลลิตเบดฟอสเฟตและของแข็งแขวนลอยในน้ำดิบถูกกำจัดภายใน 20 นาที พบว่าไม่มีฟอสเฟตเหลือจากสลัดจ์ในเครื่องแยกนี้

2) บีโอดีแขวนลอยจะถูกกำจัดในเครื่องแยกฟลูอิดไดซ์เฟลลิตเบด ต่อจากนั้นเครื่องกรองชีวะจะกำจัดบีโอดีที่เหลือในเวลากักสั้นๆประมาณ 1 ชั่วโมง



รูปที่ 3.32 กระบวนการบำบัดน้ำเสียแบบฟลูอิดไดซ์เฟลลิตเบด (Suzuki, Tambo และ Ozawa, 1993)

3.2.10 บัณฑิต ชาญรงค์ (2535) ได้ศึกษาการผลิตน้ำใสแบบฟลูอิด-โคเช่เบดของเพลเล็ต ที่ความเร็วน้ำไหลขึ้น 30 และ 40 ซม./นาที โดยมีเวลากักน้ำในอุปกรณ์สร้างเพลเล็ต 8.33 และ 6.25 นาที ตามลำดับ และมีเวลาในการกำจัดความขุ่นในชั้นเพลเล็ต 5.0 และ 3.8 นาที ตามลำดับ โดยน้ำดิบที่มีความขุ่นสังเคราะห์ 50 เอ็นทียู ถูกบำบัดด้วยการใช้โพลีลูมินัมคลอไรด์เป็นโคแอกกูแลนต์ในปริมาณ 1, 2, 3, และ 4 มก./ล. และใช้โพลีเมอร์แอนไอออนเป็นโคแอกกูแลนต์เอเดนในปริมาณ 0.1, 0.2 และ 0.3 มก./ล. โดยใช้ความเร็วในการกวนของใบพัดกวนน้ำที่ 5, 10 และ 15 รอบต่อนาที ได้ผลการศึกษาดังนี้

1. การใช้ PAC1 ปริมาณมากจะได้น้ำผลิตที่มีความขุ่นต่ำกว่าการใช้ PAC1 ปริมาณน้อย ดังนั้นการใช้ PAC1 ปริมาณน้อยต้องอาศัยปริมาณโพลีเมอร์แอนไอออนเพิ่มมากขึ้น จึงจะได้น้ำผลิตที่มีความขุ่นต่ำ
2. การใช้โพลีเมอร์แอนไอออนในปริมาณมากจะได้น้ำผลิตที่มีความขุ่นต่ำกว่าการใช้โพลีเมอร์แอนไอออนในปริมาณน้อย ดังนั้นการใช้โพลีเมอร์แอนไอออนในปริมาณน้อยต้องอาศัยปริมาณ PAC1 มากขึ้น จึงจะได้น้ำผลิตที่มีความขุ่นต่ำ
3. ขนาดเส้นผ่าศูนย์กลางของเพลเล็ตอยู่ระหว่าง 0.2 ถึง 0.3 มิลลิเมตร และความเร็วในการตกตะกอนของเพลเล็ต อยู่ระหว่าง 40-70 ซม./นาที
4. ที่ความเร็วน้ำไหลขึ้น 40 ซม./นาที ต้องการความเร็วของใบพัดกวนช้า ในขณะที่ความเร็วน้ำไหลขึ้น 30 ซม./นาที ต้องการความเร็วของใบพัดกวนช้ามากกว่า
5. วิธี fluidized pellet-floc bed clarifier สามารถลดความขุ่นจาก 50 เอ็นทียู เหลือน้อยกว่า 3 เอ็นทียู
6. ผลของการบำบัดน้ำด้วยวิธี fluidized pellet-floc bed clarifier สามารถบำบัดน้ำได้มากกว่าการใช้ถังตกตะกอนแบบธรรมดา 9 เท่า และมากกว่าการใช้ถังตกตะกอนแบบไซลิคคอนแทกท์ 3 เท่า รวมทั้งใช้พื้นที่และขนาดของถังตกตะกอนน้อยกว่าทั้ง 2 วิธีข้างต้นด้วย

3.2.11 นฤชา ฤชุพันธ์ (2535) ได้ศึกษาถึงการก่อเพลล็ดโดยสารส้มซึ่งเป็นกระบวนการกำจัดความขุ่น โดยการสร้างเพลล็ดทำให้เกิดชั้นในอุปกรณ์สร้างเพลล็ด เพื่อทำหน้าที่ดักจับอนุภาคที่ถูกทำลายเสถียรภาพแล้วจากถังกวนเร็วด้วยวิธีการไหลแบบไหลขึ้น ทว่าการวิจัยโดยใช้น้ำขุ่นสังเคราะห์จากดินคาโอลินให้มีความขุ่น 50 เอ็นทียู และใช้ความเร็ววบพัฒนาอุปกรณ์กวนเร็วเท่ากับ 100 รอบ/นาที ตัวแปรควบคุมที่ศึกษา ได้แก่ ความเข้มข้นของสารส้มเท่ากับ 5, 10, 20, 30 มก./ล. ความเข้มข้นของโพลีเมอร์ประจุลบเท่ากับ 0.05, 0.1, 0.2, 0.3 มก./ล. ความเร็วของน้ำไหลขึ้นเท่ากับ 30, 40 ซม./นาที ความเร็วของวบพัฒนากวนน้ำในอุปกรณ์สร้างเพลล็ด 5, 10, 15 รอบ/นาที จากการวิจัยพบว่า

1. ระบบจะเข้าสู่สภาวะคงตัวภายในไม่เกิน 3 ชั่วโมง โดยเข้าสู่สภาวะคงตัวเร็วขึ้นเมื่อใช้ความเข้มข้นของโพลีเมอร์ประจุลบมากขึ้น
2. การเพิ่มความเข้มข้นของโพลีเมอร์ประจุลบมากขึ้น ทำให้ความขุ่นของน้ำผลิตลดลง แสดงว่าความเข้มข้นของโพลีเมอร์ประจุลบมีผลต่อประสิทธิภาพการกำจัดความขุ่น
3. การเปลี่ยนแปลงความเข้มข้นของโพลีเมอร์ประจุลบที่ระดับซึ่งมีความเข้มข้นต่ำ (0.05 ถึง 0.1 มก./ล.) มีผลกระทบต่อความขุ่นของน้ำผลิตมากกว่าที่ระดับความเข้มข้นสูง (0.2 ถึง 0.3 มก./ล.) คือ มีความขุ่นน้ำผลิตเท่ากับ 0.35 ถึง 8.5 เทียบกับ 0.18 ถึง 1.8 ตามลำดับ
4. ที่ความเร็วน้ำไหลขึ้น 30 ซม./นาที และที่ทุกค่าความเร็ววบพัฒนา หากต้องการให้น้ำผลิตมีความขุ่นต่ำกว่า 5 เอ็นทียู จะต้องใช้ความเข้มข้นของสารส้ม 5 ถึง 30 มก./ล. และความเข้มข้นของโพลีเมอร์ประจุลบ 0.1 ถึง 0.3 มก./ล. หรือความเข้มข้นของสารส้ม 10 ถึง 30 มก./ล. และความเข้มข้นของโพลีเมอร์ประจุลบ 0.05 มก./ล.
5. ที่ความเร็วน้ำไหลขึ้น 40 ซม./นาที และที่ทุกค่าความเร็ววบพัฒนา หากต้องการให้น้ำผลิตมีความขุ่นต่ำกว่า 5 เอ็นทียู จะต้องใช้ความเข้มข้นของ

สารส้ม 5 ถึง 30 มก./ล. และความเข้มข้นของโพสเฟอรัสประจุลบ 0.1 ถึง 0.3 มก./ล. หรือความเข้มข้นของสารส้ม 20 ถึง 30 มก./ล. และความเข้มข้นของโพสเฟอรัสประจุลบ 0.05 มก./ล.

6. ด้วยความเร็วน้ำไหลขึ้น 30 และ 40 ซม./นาที และความเข้มข้นของโพสเฟอรัสประจุลบสูง คือ ในระดับ 0.1, 0.2, 0.3 มก./ล. ให้ค่าความขุ่นของน้ำที่ผลิตไม่แตกต่างกันนัก แสดงว่าเมื่อความเข้มข้นโพสเฟอรัสประจุลบสูง การเปลี่ยนแปลงของความขุ่นของน้ำผลิตเนื่องจากการเปลี่ยนความเร็วไหลขึ้นจะลดลง

7. ที่ความเข้มข้นของโพสเฟอรัสประจุลบต่ำหรือ 0.05 มก./ล. เมื่อทำการทดลองโดยความเร็วที่ไหลขึ้น 40 ซม./นาที จะมีค่าความขุ่นของน้ำผลิตสูงกว่าเมื่อทำการทดลอง โดยใช้ความเร็วน้ำไหลขึ้น 30 ซม./นาที

8. ที่ความเร็วบำบัดกวนน้ำสูง จะทำให้ค่าความขุ่นของน้ำผลิตสูงกว่าที่ความเร็วบำบัดกวนน้ำต่ำ แสดงว่าการกวนน้ำที่เร็วเกินไปจะทำให้เพลเล็ตแตกกลายเป็นความขุ่นตกค้างไปกับน้ำผลิต

9. อิทธิพลของความเร็วบำบัดที่มีต่อความขุ่นของน้ำผลิตจะลดลง เมื่อความเข้มข้นของโพสเฟอรัสประจุลบเพิ่มขึ้น แสดงว่าการเพิ่มความเข้มข้นโพสเฟอรัสประจุลบ สามารถลดการแตกของเพลเล็ตเป็นความขุ่นตกค้างไปกับน้ำผลิต

10. เพลเล็ตที่อยู่ด้านล่างของอุปกรณ์สร้างเพลเล็ต มีความเร็วในการตกตะกอนสูงกว่าเพลเล็ตที่อยู่ด้านบน

11. เมื่อพิจารณาที่ระดับความสูงของชั้นเพลเล็ตเดียวกัน เมื่อใช้ความเข้มข้นของโพสเฟอรัสประจุลบมาก เพลเล็ตจะมีความเร็วในการตกตะกอนสูงกว่าเมื่อใช้ความเข้มข้นของโพสเฟอรัสประจุลบน้อย

12. เมื่อพิจารณาที่ระดับความสูงของชั้นเพลเล็ตเดียวกัน การบำบัดน้ำด้วยความเร็วน้ำไหลขึ้น 40 ซม./นาที ได้ความเร็วในการตกตะกอนของเพลเล็ตสูงกว่าเมื่อบำบัดน้ำด้วยความเร็วน้ำไหลขึ้น 30 ซม./นาที

3.2.12 ปริมาณ อนุกรม (2535) ได้ศึกษาถึงอิทธิพลของความสูงชั้นเพลลีสต์ที่ระดับต่างๆ (70, 90, 110 และ 130 ซม.) ต่อประสิทธิภาพในการกำจัดความชื้น โดยมีการใช้โพสิโวลูมินัมคลอไรด์ (PAC1) เป็นโคแอกกูแลนต์ในปริมาณ 1, 2, 3 และ 4 มก./ล. และใช้โพสิเมอร์แอนไอออนเป็นโคแอกกูแลนต์เอคในปริมาณ 0.1 มก./ล. โดยมีการใช้ความเร็วน้ำไหลขึ้น 40 ซม./นาที ทดลองที่ช่วงห่างใบพัด 4 ค่าคือ 5, 10, 15 และ 20 ซม. จากการวิจัยพบว่า

1. ปริมาณ PAC1 ที่ใช้ไม่มีความสัมพันธ์ที่ชัดเจนต่อประสิทธิภาพการกำจัดความชื้น แต่ปริมาณ PAC1 สูงมีแนวโน้มในการกำจัดความชื้นดีขึ้น
2. รูปแบบของช่วงห่างใบพัดที่ใช้สำหรับระบบเพลลีสต์ ควรมีรูปแบบที่มีความถี่ของใบพัดเรียงจากตอนล่างสู่ตอนบนมีค่ามากไปหาน้อย (เมื่อเปรียบเทียบกับ บัณฑิต, 2535) เนื่องจากรูปแบบใบพัดดังกล่าวให้ค่าความปั่นป่วนที่เหมาะสมต่อระบบของเพลลีสต์ที่มีวัฏจักรการก่อตัวและแตกออกที่เกิดอยู่ภายในตลอดเวลาที่บริเวณตอนล่างของอุปกรณ์สร้างเพลลีสต์จะมีการแตกตัวของเพลลีสต์และได้ส่วนที่แตกออกที่มีขนาดเล็กลอยขึ้นสู่ส่วนบน ดังนั้นทางส่วนล่างจึงต้องการแรงปั่นป่วน (ค่า G) ที่มากกว่าส่วนบน
3. ความสูงชั้นเพลลีสต์มากขึ้นจะให้ผลการกำจัดความชื้นดีขึ้น เนื่องจากระบบมีช่วงความยาวในการกำจัดความชื้นที่มากขึ้น ทำให้น้ำที่ออกจากระบบมีความชื้นน้อยลง จากการวิจัยพบว่าที่ความสูงชั้นเพลลีสต์ 130 ซม. เป็นความสูงที่ทำให้ผลการกำจัดความชื้นดีที่สุด
4. เมื่อเวลาการเดินระบบเพิ่มขึ้นก็จะมีผลกระทบของการจับตัวเป็นของแข็งบนผิวของเพลลีสต์มีมากขึ้น ส่งผลให้ขนาดของเพลลีสต์มีขนาดใหญ่และหนักกว่าเพลลีสต์ที่เวลาการเดินระบบน้อยๆ เพลลีสต์ที่มีขนาดใหญ่นี้เมื่อถูกแรงเฉือนของใบพัดกว่นน้ำและความปั่นป่วนอย่างต่อเนื่องที่ตลอดความยาวของอุปกรณ์สร้างเพลลีสต์ จะทำให้เพลลีสต์เหล่านั้นแตกออก ได้เพลลีสต์ที่มีขนาดเล็กลอยขึ้นสู่ผิวบนของอุปกรณ์สร้างเพลลีสต์ ดังนั้นจึงพบว่าเพลลีสต์จะมีขนาดจืดเรียงจากใหญ่ไปเล็กจากตอนล่างสู่ตอนบนของอุปกรณ์สร้างเพลลีสต์และเมื่อทำการวัดอัตรา

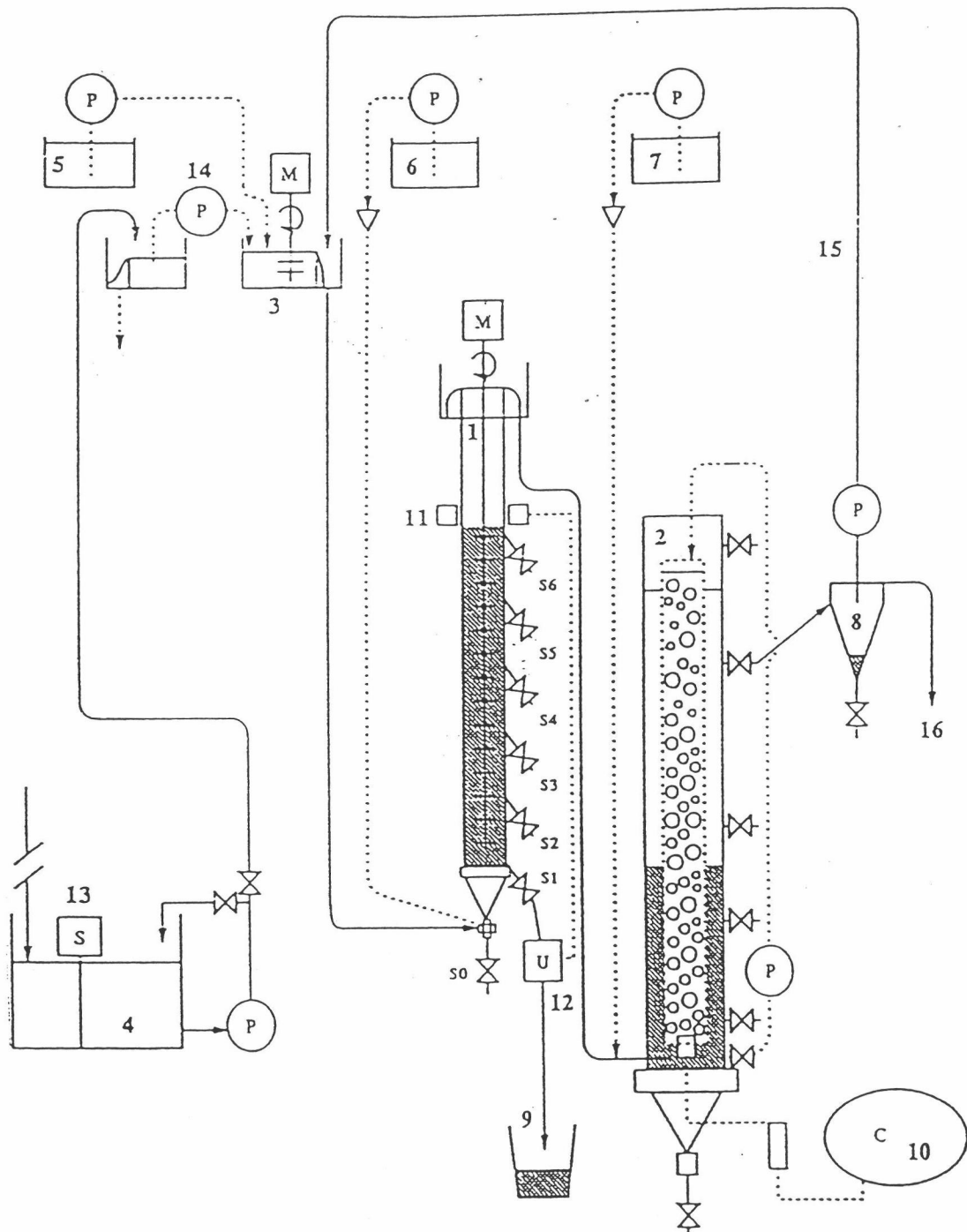
เร็วในการตกจมตัวและขนาดของเพลล็ดจากตอนบนสู่ตอนล่างของชั้นเพลล็ดจะ  
ได้ค่าที่เพิ่มขึ้นเช่นกัน

5. การวัดขนาดและความเร็วในการจมตัวของเพลล็ดของผู้ทำการ  
ทดลองแต่ละคนอาจมีผลที่ไม่เหมือนกัน (บัณฑิต, 2535 ; นฤชา, 2535) อาจ  
เกิดจากการเลือกสุ่มตัวอย่างของเพลล็ดที่มีความหลากหลาย แต่อย่างไรก็ตาม  
แนวโน้มของผลที่ได้ของคนๆ เดียวกันย่อมให้ผลที่สอดคล้องกันตลอดการทดลอง

6. ค่าเอสเอสมีความสัมพันธ์กับค่าความขุ่นที่ออกมาจากระบบอย่าง  
เห็นได้ชัด กล่าวคือ ที่เงื่อนไขใดๆ ที่มีผลต่อความขุ่นก็จะมีผลต่อเอสเอสที่ออกจาก  
ระบบด้วยเช่นกัน หรือกล่าวง่ายๆ ได้คือ ระบบที่กำจัดความขุ่นได้ดีจะมีของแข็ง  
อนุภาคเล็กๆ หลุดออกจากชั้นเพลล็ดได้น้อยไปด้วย ซึ่งจากการทดลองจะได้เอส  
เอสอยู่ในช่วง 6.5-21 มก./ล.

7. ระบบกำจัดความขุ่นโดยใช้ระบบเพลล็ด ในเงื่อนไขของตัวแปร  
ที่ใช้ในการทดลอง สามารถกำจัดความขุ่นของน้ำดิบที่ 50 เอ็นทียูได้ถึง 89%  
โดยใช้ปริมาณสาร PAC1 สูงสุดเพียง 4 มก./ล. โพลีเมอร์ต่ำถึง 0.1 มก./ล.  
โดยระบบยังสามารถใช้อัตราการไหลขึ้นได้ถึง 40 ซม./นาที

3.2.13 Shimizu, Tambo, Kudo, Ozuwa และ Hamaguchi  
(1994) ทำการทดลองระบบบำบัดน้ำเสียแบบใหม่ ซึ่งประกอบด้วยปฏิกรณ์ชีวะ  
แอนแอโรบิกฟลูอิดไดซ์เพลล็ดเบด (AFPB) ตามด้วยและถึงเติมอากาศของระบบ  
แอกทีเวเต็ดสลัดจ์ กับถังตกตะกอน (ดังแสดงในรูป 3.33) ชั้นแรกปฏิกรณ์ชีวะ  
AFPB จะนำมาใช้แทนถังทาสขึ้นต้น ในชั้นนี้โพลีลูมินัมคลอไรด์และโพลีเมอร์  
แอนไอออนจะถูกเติมลงไปเป็นโคแอกกูแลนต์และโคแอกกูแลนต์เอดตามลำดับ เพื่อ  
จะทำให้ลายเสถียรภาพของของแข็งแขวนลอยและอินทรีย์วัตถุที่มีไนโตรเจนและฟอส  
ฟอรัสเป็นส่วนประกอบ และเพื่อที่จะสร้างเพลล็ดที่มีขนาดใหญ่เพียงพอที่จะตก  
ตะกอนได้เร็ว เพลล็ดส่วนเกินจะถูกทิ้งออกด้านล่างของปฏิกรณ์ชีวะ AFPB ชั้นที่  
สองจะออกแบบให้เป็นระบบบำบัดทางชีวะแบบแอนแอโรบิกซึ่งในชั้นนี้จะเกิดกระบวนการ



Experimental apparatus. 1, AFPB bioreactor; 2, aeration tank with a settler; 3, flash mixer; 4, sewage reservoir; 5, PAC reservoir; 6, anionic polymer reservoir; 7, cationic polymer reservoir; 8, final effluent reservoir; 9, waste sludge; 10, air compressor; 11, photosensor; 12, solenoid valve; 13, screen; 14, influent; 15, recirculation line; 16, effluent.

รูปที่ 3.33 ส่วนประกอบอุปกรณ์ที่ใช้ในการทดลอง (Shimizu, Tambo, Kudo, Ozawa และ Hamaguchi, 1994)

การไนตริฟิเคชัน ซึ่งจะเปลี่ยนแอมโมเนียเป็นไนเตรต น้ำออกที่ผ่านกระบวนการไนตริฟิเคชันแล้วจะเวียนกลับมาเข้าปฏิบัติการชีวะ AFPB ซึ่งในสภาวะแอนแอโรบิกจะเกิดกระบวนการดีไนตริฟิเคชันเปลี่ยนไนเตรตเป็นแก๊สไนโตรเจน

#### ผลการทดลองพบว่า

1) ในปฏิบัติการชีวะ AFPB ของแข็งแขวนลอย อนุภาคคอลลอยด์ และฟอสฟอรัสที่ถูกทำลายเสถียรภาพโดยพอลิอลูมิเนียมคลอไรด์และพอลิเมอร์แอนไอออน จะสร้างเฟลเจลลิตที่มีขนาดใหญ่ซึ่งสามารถแยกตัวออกจากระบบได้อย่างรวดเร็ว

2) ปฏิบัติการชีวะ AFPB สามารถกำจัดของแข็งแขวนลอย และฟอสฟอรัสโดยการจับไว้ในเฟลเจลลิต และสามารถกำจัดสารประกอบไนโตรเจนได้อย่างมีประสิทธิภาพ โดยกระบวนการไนตริฟิเคชันในถังเติมอากาศและดีไนตริฟิเคชันในปฏิบัติการชีวะ AFPB

3) กระบวนการที่ทำการศึกษานี้สามารถกำจัดมลพิษ เช่น ซีโอดีของแข็งแขวนลอย สารประกอบไนโตรเจน และฟอสฟอรัส ได้ที่เวลากักสั้นมาก ประมาณ 4 ชั่วโมง ซึ่งทำให้น้ำออกที่มีคุณภาพดี แม้ว่าอุณหภูมิจะลดลงถึง 10 องศาเซลเซียส

3.2.14 คณิต ม่วงศิริ (2538) ศึกษาเรื่อง ผลของพีเอชต่อประสิทธิภาพการกำจัดความขุ่นในกระบวนการสร้างเฟลเจลลิตไหลชั้น โดยเลือกใช้พอลิอลูมิเนียมคลอไรด์เป็นโคแอกกูแลนต์ และพอลิเมอร์ประจุลบ, ประจุบวกและไม่มีประจุเป็นโคแอกกูแลนต์เอค โดยแปรผันค่าพีเอชของปฏิกิริยา ซึ่งมีรายงานพอจะสรุปได้ดังนี้

##### 3.2.14.1 วิธีการทดลอง

1. ใช้น้ำดิบสังเคราะห์จากดินคาโอลินที่มีความขุ่น 50 เอ็นทียู แปรค่าพีเอช 7 ค่า คือ 5, 5.5, 6, 6.5, 7, 7.5 และ 8 ความเข้มข้นของพอลิอลูมิเนียมคลอไรด์ 1, 3 และ 5 มก./ล.



2. ทำการทดลองโดยสร้างชั้นเพลลิตให้มีความสูง 130 ซม. จากนั้นที่เวลา 0 ชั่วโมง นำน้ำดิบสังเคราะห์ 50 เอ็นทียู ที่ทำการปรับพีเอชแล้วมาผ่านอุปกรณ์กวนเร็ว โดยใช้โพลีลูมินัมคลอไรด์เป็นโคแอกกูแลนต์

3. ผ่านน้ำดังกล่าวเข้าสู่อุปกรณ์สร้างเพลลิตแบบไหลขึ้น และใช้โพลีเมอร์แอนไอออนหรือโพลีเมอร์นอนไอออนหรือโพลีเมอร์แคตไอออนเป็นโคแอกกูแลนต์เอค

4. เก็บตัวอย่างที่เวลา 0.5 ชม., 1 ชม., 2 ชม., 3 ชม., 4 ชม., 5 ชม. และ 6 ชม. จึงสิ้นสุดการทดลอง

#### 5.14.2 ผลการทดลอง

1. โพลีลูมินัมคลอไรด์อาศัยกลไกดูดติดและทำลายประจุไฟฟ้าในการทำลายเสถียรภาพของคอลลอยด์ที่ค่าพีเอชต่ำ และอาศัยโครงสร้างโมเลกุลที่ใหญ่เกาะยึดอนุภาคที่ค่าพีเอชสูง

2. โพลีเมอร์แอนไอออนอาศัยกลไกของการต่อเชื่อมด้วยโพลีเมอร์ในการสร้างเพลลิต โพลีเมอร์นอนไอออนอาศัยกลไกการต่อเชื่อมและการทำลายประจุ ส่วนโพลีเมอร์แคตไอออนอาศัยประจุบวกในการลดศักยภาพไฟฟ้าของคอลลอยด์และกลไกการต่อเชื่อมด้วยโพลีเมอร์ในการสร้างเพลลิต

3. ที่พีเอชในช่วงที่วิจัย ความขุ่นตกค้างในน้ำที่ออกจากระบบมีค่าสูงกว่ากรณีพีเอชสูงอยู่เล็กน้อยแต่ไม่มีนัยสำคัญ และในทุกเงื่อนไขการทดลองความขุ่นในน้ำที่ออกจากระบบมีค่าต่ำกว่าเกณฑ์ที่กำหนดคือ 5 เอ็นทียู

4. พีเอชไม่มีอิทธิพลต่อความเร็วในการจมตัวของเพลลิต และความสูงของชั้นเพลลิต แต่มีอิทธิพลต่อขนาดเพลลิตอยู่บ้าง แต่มีรูปแบบไม่ชัดเจน

5. พีเอชมีอิทธิพลต่อปริมาณลูมิเนียมน้ำ ซึ่งมีค่าต่ำเมื่อพีเอชอยู่ในช่วง 6.5-7.0 แต่ทั้งหมดก็มีค่าไม่เกินเกณฑ์ที่กำหนดคือ 200 ไมโครกรัม/ล.